

បរាណាថ្មី

1. Gaugler, R.S., "Heat Transfer Devices," U.S. Pat 2,350,348, 1944.
2. Grover, G.M., "Evaporation-condensation Heat Transfer Device," U.S. Pat 3,229,759, 1963.
3. Reay, D.A., "Heat Pipe," Phys. Technol., Vol. 16, 1985.
4. Dunn, P., Reay, D.A., Heat Pipe, Pergamon Press, Great Britain, 3 rd ed., 1983.
5. Feldman, Jr. K.T., Srinivasan, R., "Investigation of Heat Transfer Limits in Two-Phase Closed Thermosyphons," 5th IHPC, 1984.
6. Negishi, K., Sawada, T., "Heat Transfer Performance of Inclined Two-Phase Closed Thermosyphon, " Int. J. Heat Mass Transfer, Vol. 26, No.8, pp. 1207-1213, 1983.
7. Negishi, K., "Thermo-Fluidynamics of Two-Phase Thermosyphons," 5th IHPC, 1984.
8. Shiraishi, M., Yoneya, M., Yabe, A. "Visual Study of Operating Limit in the Two-Phase Closed Thermosyphon," 5th IHPC, 1984.
9. Yabe, A., et al., "Studies of Enhanced Boiling Surfaces For Two-Phase Closed Thermo-syphons," 5th IHPC, 1984.
10. Read, D.A. , Heat Recovery Systems, John Wiley and Sons, Inc., New York, 1978.
11. Lee, Y., Bedrossian, A., "The Characteristic of Heat Exchangers Using Heat Pipes or Thermosyphons," Int. J. Heat Mass Transfer, vol.21, pp. 221-9, 1978.

12. Chaudourne, S., "Modelization And Optimization of Heat Pipe Heat Exchangers," 5th IHPC, 1984.
13. Krishnan, K.N., Rao, K.S., "Analysis and Design of a Heat Pipe Heat Exchanger," 5th IHPC, 1984.
14. Andros, F.E., "Heat Transfer Characteristics of the Two-Phase Closed Thermosyphon (Wickless Heat Pipe) Including Direct Flow Observation," Ph.D. dissertation, Arizona State University, 1980.
15. Casarosa, C., Latrofa, E. "The Geyser Effect in a Two-Phase Thermosyphon," Int. J. Heat Mass Transfer, V. 26, No.6, pp. 933-941, 1983.
16. Tu, C., Xie, G., Hu, C., Gao, Z., Hong, R., "The Two-Phase Closed Thermosyphon: An Experimental study with Flow Pattern and Optimum Fill Charge," Two-Phase Flow and Heat Transfer. (Chen, x.j., Veziroglu, T.N., eds.), Hemisphere Publishing Corporation, U.S.A., 1985.
17. Imura, H., Sasaguchi, K., Kozai, H., "Critical Heat Flux in a Closed Two-Phase Thermosyphon," Int. J. Heat Mass Transfer, v.26, No.8, pp. 1181-1188, 1983.
18. วิวัฒน์ ตัณฑานิชกุล, "การสร้างอิทไปป์และการทดสอบสมรรถนะของ อิทไปป์," รายงานทุนอุดหนุนการวิจัยประ tekstสาขาวิชาการ, สำนักงานคณะกรรมการการวิจัยแห่งชาติ, 2526.
19. ชุมพล สุริยฉัย, "การออกแบบและสร้างอิทไปป์," วิทยานิพนธ์ ปริญญามหาบัณฑิต ภาควิชาวิศวกรรมเคมี บัณฑิตวิทยาลัย จุฬาลงกรณ์มหาวิทยาลัย, 2526.
20. Kabac, S., Bergles, A.E., Mayinger, F., Heat Exchangers, Hemisphere Publishing Corporation, 1981.

21. Ozisik, M.N., Heat Transfer, Mc Graw-Hill Book Company, 1985.
22. Whitaker, S., "Forced Convection Heat Transfer Calculation for flow in Pipes, past Flat Plates, Single Cylinders, and for flow in Packed Bed and Tube Bundle," AICHE J., 18, pp. 361-371, 1972.
23. Shiraishi, M., Kikuchi, K., Yamanishi, T., "Investigation of Heat Transfer Characteristics of a Two-Phase Closed Thermosyphon," Advances in Heat Pipe Technology (Reay, D.A., ed.), pp. 95-104, Pergamon Press, 1982.
24. Kobayashi, K., Yamamoto, T., Kuroki, T., Nagata, K., "Heat Transfer Performance of a Two-Phase Closed Thermosyphon," 5th IHPC, 1984.
25. Wen, Y., Guo, S., "Experimental Heat Transfer Performance of Two-Phase Thermosyphons," 5th IHPC, 1984.
26. Lee, Y., Clements, B.R., "An Analysis of Heat Exchangers Using Finned Two-Phase Closed Thermosyphons," 5th IHPC, 1984.
27. Rohsenow, W.M., Hartnett, J.P., Handbook of Heat Transfer, chap 13, Mc Graw-Hill Book Co., New York, 1973.
28. Stule, P., Vasiliev, L.L., Kiseljev, V.G., Matvejev, Ju. N., "Heat Pipe Heat Exchangers in Heat Recovery Systems," Heat Recovery Systems, V.5, No.5, pp 415-418, 1985.
29. วิวัฒน์ ตันกาษานิชกุล "โครงการการศึกษา ทดสอบและสร้างโมเดล คณิตศาสตร์สำหรับการทำงานของอีทไปป์" รายงานผลการ วิจัยทุนวิจัยรัชดาภิเษกสมโภช, 2526.

30. สมใจ ผิเชียร์สิงห์ "การศึกษาเกี่ยวกับสมรรถนะและการสร้างแบบ
จำลองของอีทไปป์" วิทยานิพนธ์ปริญญามหาบัณฑิต
ภาควิชาชีวกรรมเคมี บัณฑิตวิทยาลัย จุฬาลงกรณ์
มหาวิทยาลัย, 2526.
31. Kays, W.M., London, A.L., Compact Heat Exchangers,
2nd ed, Mc Graw-Hill Book Company, 1964.
32. Krishnan, K.N., Rao, K.S., "Analysis and Design of
a Heat Pipe Heat Exchanger," 5th IHPC, 1984.
33. Chaudourne, S. "Modelization and Optimization of
Heat Pipe Heat Exchangers," 5th IHPC, 1984.
34. Perry, H.R., Green, D.W., Maloney, J.O., Perry's
Chemical Engineering Handbook, Mc Graw-Hill
Book Co., 6 th ed., 1984.
35. Kern, D.Q., Process Heat Transfer, Mc Graw- Hill
Book Co., 1950.
36. Chi, S.W., Heat Pipe Theory and Practice, Hemisphere
Publishing corporation, 1976.

ศูนย์วิทยทรัพยากร
จุฬาลงกรณ์มหาวิทยาลัย

ภาคผนวก ก.

การออกแบบอึ๊กไบป์ไวริค์

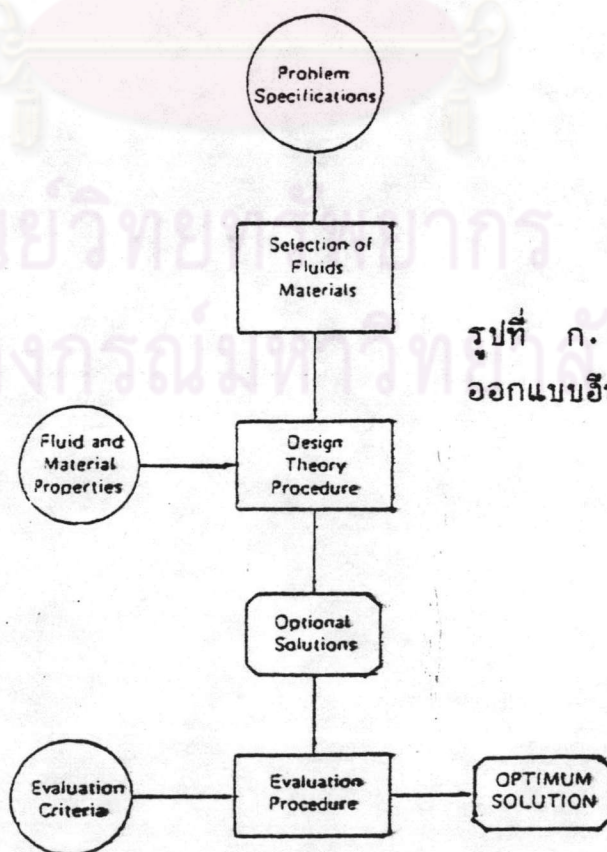
ก. การออกแบบอึ๊กไบป์ไวริค์ (4), (18), (19), (36)

ก. 1 การเลือกส่วนประกอบต่าง ๆ ของอึ๊กไบป์ไวริค์

อึ๊กไบป์ไวริค์ประกอบด้วยส่วนประกอบที่สำคัญ 2 ส่วนคือ

1. ช่องให้流ใช้งาน
2. ท่อปิดผนก

ก่อนที่จะทำการออกแบบและสร้างห้องอึ๊กไบป์ไวริค์ จำเป็นต้อง
ผู้เชี่ยวชาญเลือกส่วนประกอบทั้งสองให้มีความเหมาะสมซึ่งกันและกัน ดังขั้นตอน
ที่แสดงไว้ในรูปที่ ก. 1



รูปที่ ก. 1 ขั้นตอนการ
ออกแบบอึ๊กไบป์ไวริค์



ก. 1.1 การเลือกของไอลิช่าง

ก. 1.1.1 คุณสมบัติของของไอลิช่าง ในขั้นแรกต้องเลือกของไอลิช่างให้เหมาะสมกับอุณหภูมิใช้งานของไออุ่นไปปีรีวิก์ ตารางที่ ก. 1 แสดงชนิดของของไอลิช่างที่ใช้ได้ที่อุณหภูมิไอต่าง ๆ ถ้ามีของไอลิช่างให้เลือกมากกว่า 1 ชนิด ควรเลือกของไอลิช่างที่มีคุณสมบัติเฉพาะดังต่อไปนี้

ตารางที่ ก. 1 ชนิดของไอลิช่างที่ช่วงอุณหภูมิใช้งานต่าง ๆ

Medium	Melting point (°C)	Boiling point at atmos. press. (°C)	Useful range (°C)
Helium	-272	-269	-271 - -269
Nitrogen	-210	-196	-203 - -160
Ammonia	-78	-33	-60 - 100
Freon 11	-111	24	-40 - 120
Pentane	-130	28	-20 - 120
Freon 113	-35	48	-10 - 100
Acetone	-95	57	0 - 120
Methanol	-98	64	10 - 130
Flutec PP2*	-50	76	10 - 160
Ethanol	-112	78	0 - 130
Heptane	-90	98	0 - 150
Water	0	100	30 - 200
Flutec PP9*	-70	160	0 - 225
Thermex	12	257	150 - 395
Mercury	-39	361	250 - 650
Caesium	29	670	450 - 900
Potassium	62	774	500 - 1000
Sodium	98	892	600 - 1200
Lithium	179	1340	1000 - 1800
Silver	960	2212	1800 - 2300

* Included for cases where electrical insulation is a requirement

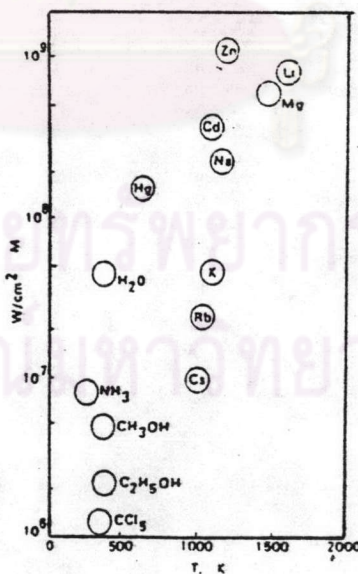
- จะต้องเข้ากันได้กับวัสดุ
- ทนความร้อนได้ดี (เสถียรภาพเชิงความร้อนสูง)
- เป็นผิววัสดุท่อได้ดี
- ความตันไอไม่สูงหรือไม่น้อยเกินไปที่อุณหภูมิใช้งาน
- มีค่าความร้อนแฝงของการระเหยสูง
- มีความหนืดต่ำทึ้งในสภาพของเหลวและไอ
- มีค่าความนำความร้อนสูง
- มีจุดเยือกแข็งและจุดหลอมตัวที่ยอมรับได้

ก. 1.1.2 ตัวเลขเมอริก (Merit number)

การเลือกชนิดของไอลิช่างที่มีลักษณะสมบัติเฉพาะข้างต้น เป็นเรื่องไม่ง่ายนัก ดังนั้นในบางครั้งจะใช้ตัวเลขเมอริก M เป็นตัวตัดสินแทน โดยที่

$$\begin{aligned}
 M &= \frac{\sigma_e \rho_e \lambda}{\mu_e} g_c \quad (\text{W/cm}^2) \quad (\text{ก. 1.1}) \\
 \rho_e &= \text{ความหนาแน่นของเหลว} \quad (\text{gm/cm}^3) \\
 \sigma_e &= \text{แรงตึงผิวของเหลว} \quad (\text{gm}_f/\text{cm}) \\
 \lambda &= \text{ความร้อนแฝงของการระเหย} \quad (\text{J/gm}) \\
 \mu_e &= \text{ความหนืดของเหลว} \quad (\text{gm/cm: sec}) \\
 g_c &= \text{ตัวแปรหน่วย (980.7 \text{ gm: cm/gm}_f: \text{sec}^2)}
 \end{aligned}$$

รูปที่ ก. 2 แสดงค่าตัวเลขเมอริกของไอลิช่างตัวสำคัญที่ช่วงอุณหภูมิการใช้งานต่าง ๆ ถ้าค่าตัวเลขเมอริกของไอลิช่างใดมีค่าสูงแสดงว่าของไอลิช่างนั้นมีความเหมาะสมมาก แต่ยังจำเป็นต้องคำนึงถึงราคา ความปลดล็อกและฤทธิ์กัดกร่อนของไอลิช่างนั้นด้วย



รูปที่ ก. 2 ค่าตัวเลขเมอริกของไอลิช่างที่อุณหภูมิจุดเดือด

ก. 1.2 การเลือกวัสดุท่อ

ก. 1.2.1 ความเข้ากันได้ (Compatibility)

การเลือกวัสดุที่ใช้ทำท่อต้องคำนึงถึงความเข้ากันได้กับของเหลวใช้งานเป็นสำคัญ โดยผิจารณาว่าจะเกิดปฏิกิริยาเคมีการสลายตัวของของเหลวใช้งานและการกัดกร่อนของท่อหรือไม่ ถ้ามีปรากฏการณ์ใดปรากฏการณ์หนึ่งเกิดขึ้น ก็แสดงว่าวัสดุท่อไม่เหมาะสม

ปฏิกิริยาเคมีหรือการสลายตัวของของเหลวใช้งานจะทำให้เกิดก๊าซที่ไม่สามารถควบคุมได้ขึ้นภายในท่ออีกไปป์ ซึ่งแม้แต่ปริมาณเพียงนิดเดียว ก็จะทำให้สมรรถนะของอีกไปป์ต่ำลงได้

การผูกร่องของวัสดุท่อจะทำให้คุณสมบัติของผิววัสดุเปลี่ยนไป ผลกระทบของการเบียกผิวระหว่างของเหลวกับวัสดุเปลี่ยนแปลงไป อีกทั้งยังอาจเกิดเศษอนุภาคของแข็งขึ้นก็ขาดข้างการไหลลับของของเหลวใช้งาน หรือเกิดก๊าซขึ้น ผลกระทบจะส่งผลต่อสมรรถนะของอีกไปป์ก็จะต่ำลง ความเข้ากันได้ของวัสดุกับของเหลวใช้งานต่าง ๆ มีแสดงไว้ในตารางที่ ก. 2

<u>Fluids</u>	<u>Al</u>	<u>Cu</u>	<u>Fe</u>	<u>Ni</u>	<u>SS^a</u>	<u>304</u>	<u>Ti</u>
Nitrogen	C ^b	C	C	C	C		
Methane	C	C			C		
Ammonia	C		C	C	C		
Methanol	I	C	C	C	C		
Water	I	C		C	C ^c	C	
Potassium				C		I	
Sodium				C	C	I	

^aSS = stainless steel.

^bC = compatible; I = incompatible; blank = data not available.

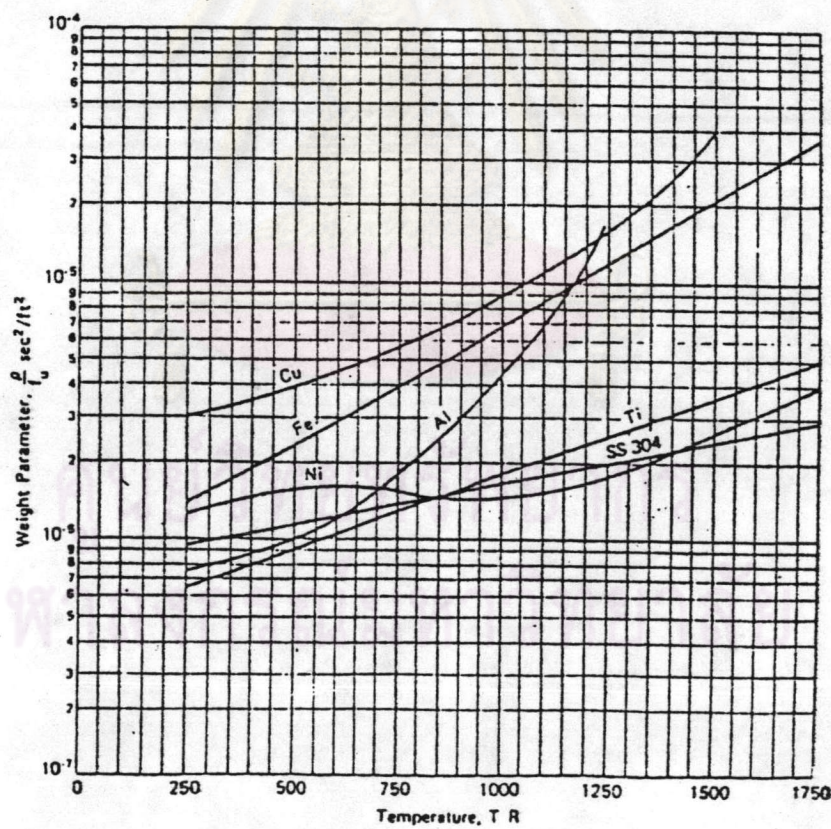
^cPossible hydrogen generation.

ตารางที่ ก. 2 ความเข้ากันได้ระหว่างของเหลวใช้งานกับวัสดุท่อ

ก. 1.2.2 น้ำหนักและผลลดอุณหภูมิของวัสดุ

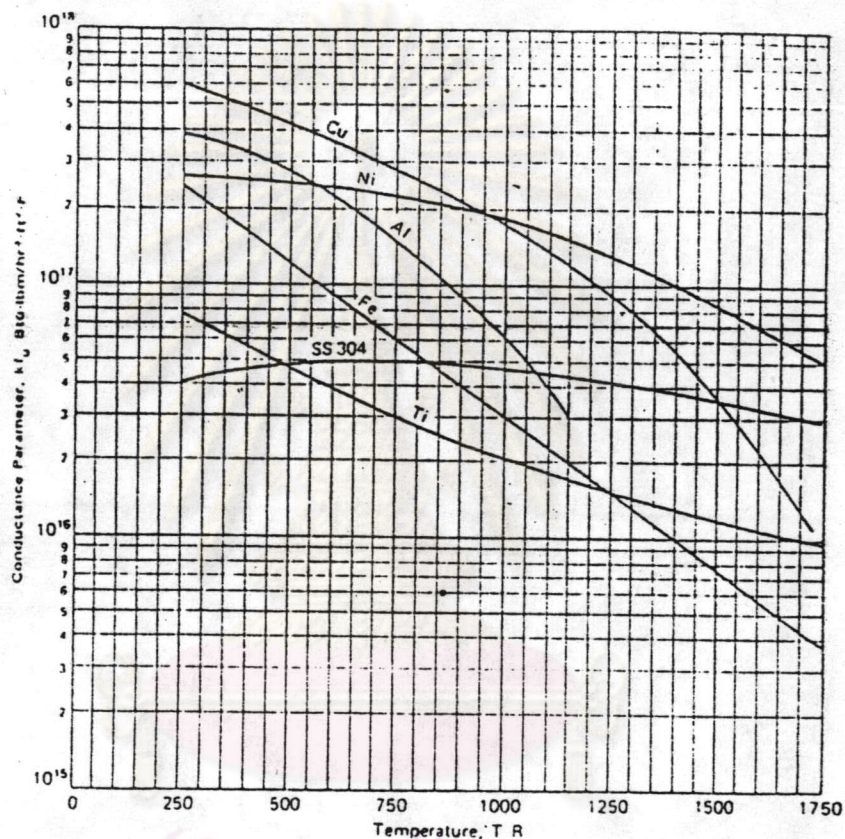
นอกจากจะคำนึงถึงความเข้ากันได้แล้ว ยังต้องสนใจน้ำหนักของวัสดุ และผลลดของอุณหภูมิที่เกิดขึ้นอีกด้วย

ก. 1.2.2.1 น้ำหนักของวัสดุท่อนี้จะปรับผันตามผลลดของความหนาของท่อ กับความหนาแน่นของวัสดุ (ให้รูปทรงภายนอกคงที่) แต่ความหนาของท่อที่สามารถทนต่อแรงดันໄอोได้จะแปรผันกับความหนาแรงดึงสูงสุดของวัสดุ (Ultimate tensile strength, UTS, f_u) นั่นคือน้ำหนักของวัสดุท่อที่ใช้จะแปรผันโดยตรงกับ (ρ / f_u) รูปที่ ก.3 แสดงค่า (ρ / f_u) ที่อุณหภูมิต่าง ๆ ของวัสดุแต่ละชนิด



รูปที่ ก.3 ความล้มเหลวช่องว่าง (ρ / f_u) กับอุณหภูมิ

ก. 1.2.2.2 ผลลัพธ์ของอุณหภูมิ ผลลัพธ์ของอุณหภูมิจะแปรผันโดยตรง กับความหนาของผนังท่อและแปรผกผันกับค่าความนำความร้อน (k) ของวัสดุ นั้นคือผลลัพธ์ของอุณหภูมนี้จะแปรผกผันกับ $(k \cdot f_u)$ ค่า $(k \cdot f_u)$ ที่อุณหภูมิใช้งานต่าง ๆ ของวัสดุแสดงไว้ในรูป ก.4



รูปที่ ก.4 ค่า $(k \cdot f_u)$ ที่อุณหภูมิการใช้งานต่าง ๆ ของวัสดุ

จากรูปที่ ก.4 จะเห็นได้ว่าวัสดุทองแดง (Cu) มีค่า $(k \cdot f_u)$ สูงกว่าวัสดุชนิดใด ๆ ในช่วงอุณหภูมิต่ำกว่า $1,000^{\circ}R$ นิ่งมากความว่า ในช่วงอุณหภูมนี้ทองแดงให้ผลลดอุณหภูมน้อยที่สุด

ในการเลือกวัสดุนี้ ปัจจัยที่สำคัญที่ต้องไม่ลืมคือ ราคาของวัสดุ เครื่องมือที่ต้องใช้ในการขึ้นรูป การเชื่อมและอุปสรรคต่าง ๆ ที่จะเกิดขึ้น

ก.1.3 ขั้นตอนการเลือกส่วนประกอบทั้ง 2 ส่วน

1. เลือกของให้ใช้งานหนึ่งชนิดจากตารางที่ ก.1 และรูปที่ ก.2 ของให้ใช้งานนั้นจะต้องให้ค่าถ่ายเทของเหลวสูง และสภาพการนำความร้อนของของเหลวสูงพอ อีกทั้งต้องไม่เป็นพิษและไม่ติดไฟด้วย
 2. เลือกชนิดของวัสดุท่อที่เข้ากันได้โดยอาศัยตารางที่ ก.2 นอกจาคนี้ต้องคำนึงให้มีน้ำหนักเบาและผลลดของอุณหภูมิน้อยโดยใช้รูป ก.3 และ ก.4
- การเลือกส่วนประกอบทั้ง 2 ส่วนนี้ เป็นสิ่งที่ขาดไม่ได้ในการออกแบบอิทธิไปป์ไรริกค์

ก.2 การออกแบบอิทธิไปป์

หลังจากเลือกของให้ใช้งานวัสดุท่อแล้ว ขั้นตอนต่อไปคือการออกแบบอิทธิไปป์ไรริกค์ที่จะสร้าง ขั้นตอนในการออกแบบนี้สามารถแบ่งได้เป็น 3 ขั้นตอน ดังนี้

1. กำหนดเส้นผ่าศูนย์กลางของท่ออิทธิไปป์ โดยให้ความเร็วของไออกไม่สูงเกินไป
2. เลือกและคำนวณออกแบบท่ออิทธิไปป์ โดยคำนึงถึงลักษณะการใช้งานของอิทธิไปป์
3. ตรวจสอบหาข้อขัดจำกัดที่อาจเกิดขึ้นได้ เพื่อให้ทราบว่าอิทธิไปป์ที่สร้างขึ้นทำงานภายใต้ข้อจำกัดอะไร ในเงื่อนไขใด

ตัวอย่างการออกแบบอิทธิไปป์ที่เสนอในที่นี้เป็นการออกแบบอิทธิไปป์แบบไรริกค์

ก.2.1 การกำหนดเส้นผ่าศูนย์กลางของท่ออิทธิไปป์

ท่ออิทธิไปป์อาจมีรูปร่างของพื้นที่หน้าตัดของท่อแบบต่าง ๆ ท่อที่นิยมใช้ทั่วไปเป็นท่อทรงกระบอก เพราะหาซื้อได้ง่ายและเป็นท่อที่สามารถความดัน

ได้ดีกว่าท่อรูปร่างอื่น ๆ ขนาดเส้นผ่าศูนย์กลางของท่อมีความสำคัญต่ออิทธิพลมาก เนื่องเป็นตัวกำหนดความเร็วของไอ์ ถ้าตัวเลขแมคห์ (Mach number) ของไอ์มีค่าสูงจะเกิดการอัดตัวของไอ์ขึ้น และการกระจายของอุณหภูมิในแนวแกนของอิทธิพลจะมีมาก ควรยิดหลักให้ค่าตัวเลขแมคห์ของไอ์มีค่าไม่เกิน 0.2 เพราะที่ค่านี้การอัดตัวของไอ์และผลต่างของอุณหภูมิในแนวแกนมีน้อยจนสามารถละเลยได้ ถ้าต้องการออกแบบอิทธิพลไปบีให้ส่งผ่านความร้อนสูงสุดในแนวแกนเป็น Q_{max} เส้นผ่าศูนย์กลาง d_v ของย่านไอ์ผ่าน ในการนี้ตัวเลขแมคห์เท่ากับ 0.2 ($M_v = 0.2$) គួរ

$$d_v = \left(\frac{20 Q_{max}}{\pi \rho_v \lambda (r_v R_v T_v)} \right)^{1/2} \quad (ก.2.1)$$

d_v = เส้นผ่าศูนย์กลางของผ่านไอ์ผ่าน

Q_{max} = ผลักดันความร้อนที่ส่งผ่านในแนวแกน

ρ_v = ความหนาแน่นของไอ์

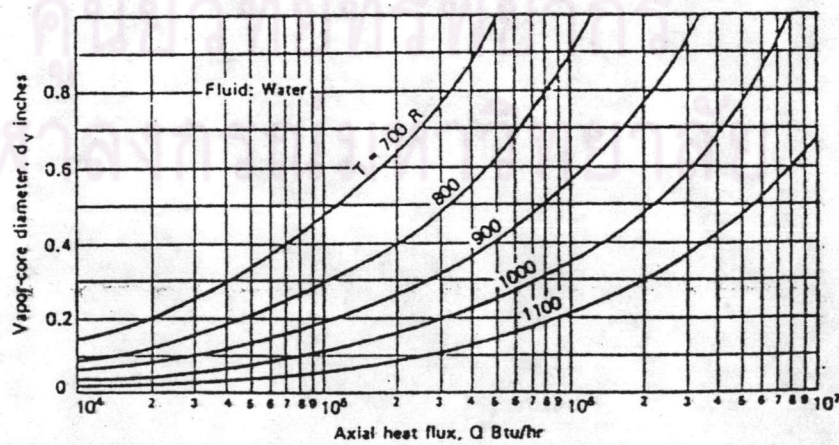
r_v = อัตราส่วนของความร้อนจำเพาะของไอ์

λ = ความร้อนแฝงของการระเหย

R_v = ค่าคงที่ของก๊าซ

T_v = อุณหภูมิของไอ์

สมการที่ ก.2.1 สามารถแสดงเป็นกราฟได้ดังรูปที่ ก.2



รูปที่ ก.5 การออกแบบเส้นผ่าศูนย์กลางของย่านไอ์ผ่าน

ก. 2.2 การเลือกและคำนวณออกแบบท่ออีทไปป์

การเลือกประเภทของท่ออีทไปป์ต้องคำนึงถึงความทนทานต่อความดัน ไว้ที่เกิดขึ้นภายในท่ออีทไปป์ โดยทั่วไปนิยมใช้มาตรฐาน ASME โดยยิ่งหลัก ว่า ความเค้นสูงสุดที่ยอมได้ (maximum allowable stress) จะเป็น $1/4$ เท่า ของความทนต่อแรงดึงสูงสุดของวัสดุนั้น (Ultimate tensile strength, UTS, f_{ut}) ในการออกแบบ โครงสร้างของท่อแบ่งออกได้ เป็นข้อ ๆ ดังนี้

- สำหรับท่อทรงกระบอกที่มีความหนาของผนังท่อน้อยกว่า 10% ของเส้นผ่าศูนย์กลางท่อ ความเค้นสูงสุดที่ยอมได้สามารถคำนวณได้จากสมการที่ (ก.2.2)

$$f_{max} = \frac{\Delta P d_o}{2t} \quad (\text{ก.2.2})$$

f_{max}	=	ความเค้นสูงสุดที่ผนังท่อรับได้
ΔP	=	ผลต่างของความดันที่ 2 ด้านของผนังท่อ
d_o	=	เส้นผ่าศูนย์กลางภายนอกของท่อ
t	=	ความหนาของผนังท่อ

- สำหรับท่อทรงกระบอกที่มีผนังท่อหนา ความเค้นสูงสุดสามารถคำนวณได้จากสมการที่ (ก.2.3)

$$\begin{aligned} f_{max} &= \Delta P(d_o^2 + 2d_o d_i + d_i^2)/2(d_o^2 - d_i^2) \quad (\text{ก.2.3}) \\ f_{max} &= \text{ความเค้นสูงสุดที่ยอมได้} \\ \Delta P &= \text{ผลต่างของความดันที่สองด้านของผนัง} \\ d_o &= \text{เส้นผ่าศูนย์กลางภายนอกของท่อ} \\ d_i &= \text{เส้นผ่าศูนย์กลางภายนอกในของท่อ} \end{aligned}$$

หมวดปิดท่ออีทไปป์ก็จัดอยู่ในประเภทวัสดุท่อเช่นกัน หมวดปิดท่อนี้มีรูปร่างหลายอย่าง เช่น เสี้ยวของวงกลม กรวยหรือแผ่นร้าว การคำนวณออกแบบก็สามารถทำได้ดังนี้

1. สำหรับหมวดปิดท่อเนื้อหนาแบบทรงกลมครึ่งเสี้ยว ความเค้นสูงสุดที่ยอมได้ คำนวณได้จากสมการที่ (ก.2.4)

$$f_{max} = \frac{\Delta P(d_o^3 + 2d_o^2 t) / 2(d_o^3 - d_o^2 t)}{4t} \quad (ก.2.4)$$

2. สำหรับหมวดปิดท่อแบบทรงกลมครึ่งเสี้ยวเนื้อบางน้อยกว่า 10 % ของเส้นผ่าศูนย์กลางภายในนอกท่อ ความเค้นสูงสุดคำนวณได้จากสมการที่ (ก.2.5)

$$f_{max} = \frac{\Delta P d_o}{4t} \quad (ก.2.5)$$

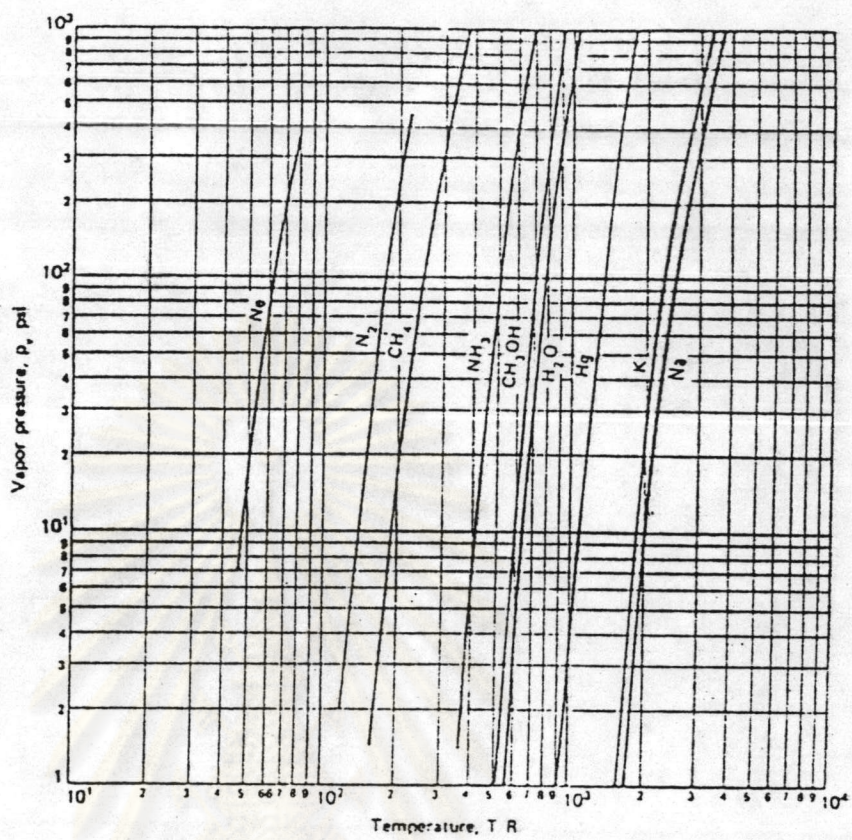
3. สำหรับหมวดปิดท่อแบบแผ่นราย ความเค้นสูงสุดคำนวณได้จากสมการที่ (ก.2.6)

$$f_{max} = \frac{\Delta P d_o^2 / 8t^2}{\text{ความเค้นสูงสุด}} \quad (ก.2.6)$$

f_{max}	=	ความเค้นสูงสุด
ΔP	=	ผลต่างของความดันที่สองด้านของผนังหมวดปิดท่อ
d_o	=	เส้นผ่าศูนย์กลางภายในนอกของหมวดปิดท่อ
d_i	=	เส้นผ่าศูนย์กลางภายในของหมวดปิดท่อ

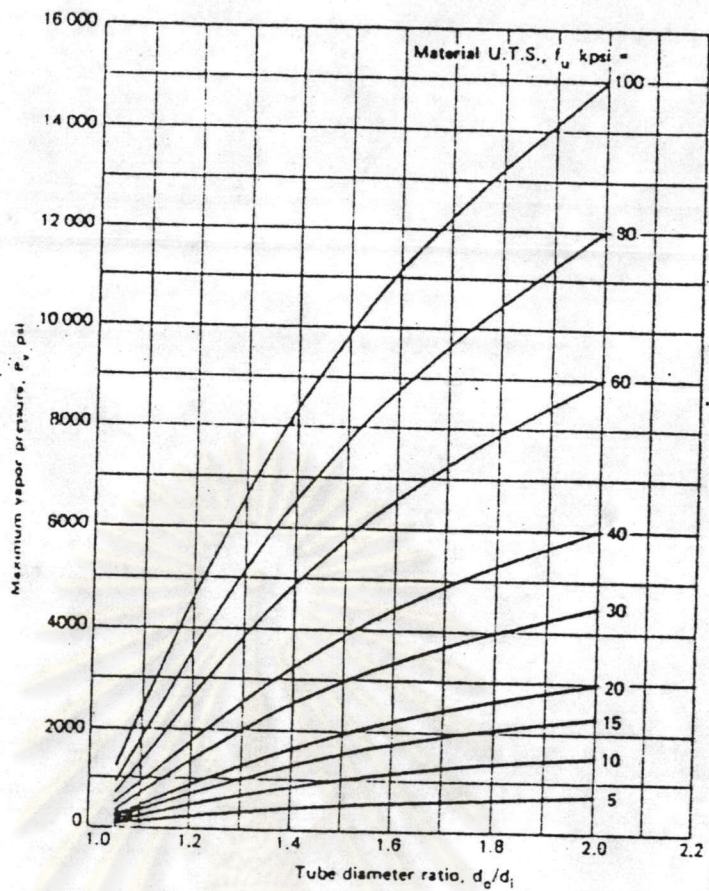
ผลต่างของความดันที่สองด้านของผนังท่อ/หมวดปิดท่อ P มีค่าเท่ากับ ความดันไออกของของไหลใช้งานที่อุณหภูมิใช้งานสูงสุดหักลบด้วยความดันบรรยายกาศภายในออก รูปที่ ก.6 แสดงตัวอย่างความดันไออกของของไหลใช้งานบางประเภท

บุพคลกรรมทางวิทยาศาสตร์

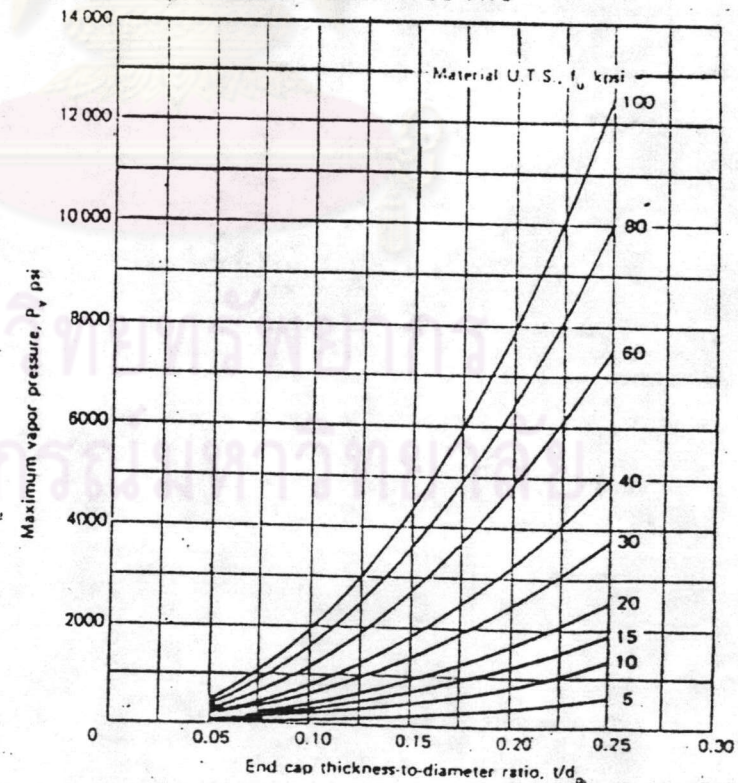


รูปที่ ก.๖ ความดันไอที่อุณหภูมิต่าง ๆ ของของไนโตรเจน

เพื่อความสะดวกในการออกรอบ เราสามารถนำเอาสมการที่ (ก.2.2) - (ก.2.6) ไปเขียนเป็นกราฟความสัมพันธ์ระหว่างขนาดห่อ (d_o/d_i) หรือขนาดมวลกปิดห่อ (t/d_o) กับความดันไอของของไนโตรเจน (P_v) ดังรูปที่ ก.7 และ ก.8



รูปที่ ก. 7 การออกแบบขนาดของท่อ

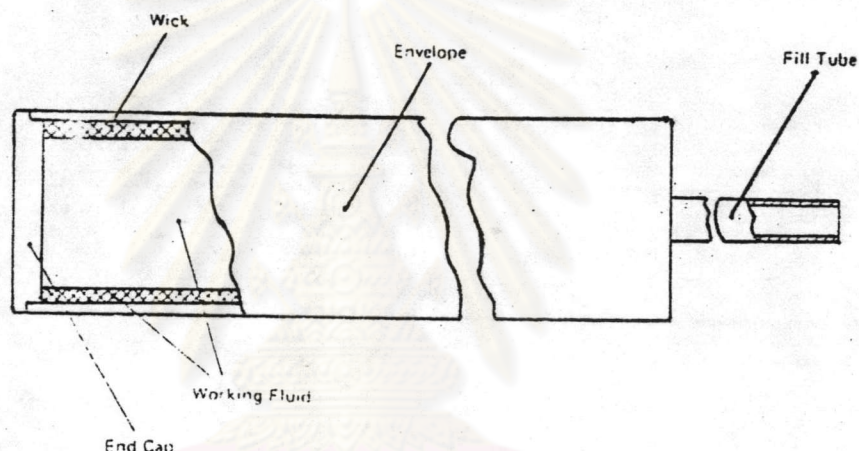


รูปที่ ก. 8 การออกแบบขนาดของหมวกปิดท่อ

ก.3 การสร้างอีกไปป์ไวริกค์

ก.3.1 ส่วนประกอบของอีกไปป์ไวริกค์

อีกไปป์ทั่วไปมีส่วนประกอบ 5 ชิ้น คือ ห่อ (Envelope) , วิกค์ (Wick) , หมวกปิดห่อ (End cap) , ห่อเติม (Fill tube) และของเหลวใช้งาน (Working fluid) (รูป ก.๙) แต่อีกไปป์ไวริกค์จะมีส่วนประกอบเพิ่ม 4 ส่วน เพราะไม่มีวิกค์ ในที่นี้จะอธิบายเฉพาะส่วนประกอบของอีกไปป์ไวริกค์เท่านั้น



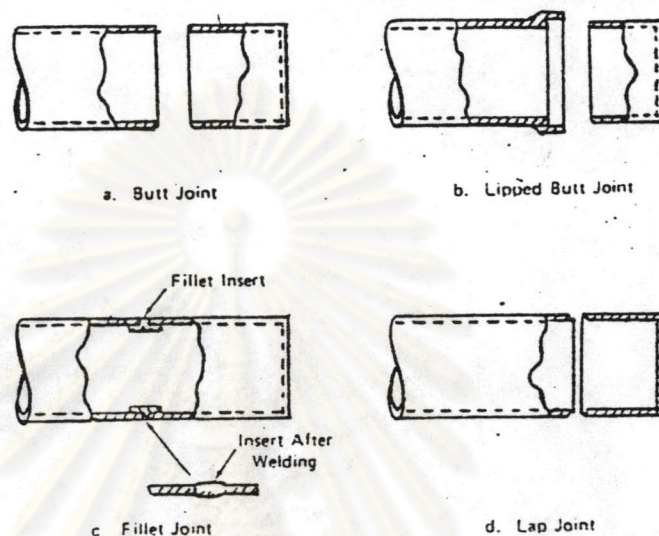
รูปที่ ก.๙ ส่วนประกอบต่าง ๆ ของอีกไปป์ทั่วไป

1. ห่อ ห่อที่ใช้ทำอีกไปป์มีหลายประเภทและหลายขนาด การเลือกห่อในตอนออกแบบอีกไปป์นั้นต้องคำนึงถึงราคากลางของห่อด้วย ห่อที่ใช้ทั่วไปมี 2 ประเภทคือ ห่อไวร์ตะเข็มและห่อเชื่อมตัว (Butt welding tubes)

ลักษณะที่ควรระวังในการตัดห่อให้ได้ความยาวที่ต้องการคือ การเลี่ยรูปของปลายห่อ เพราะถ้าเกิดการเลี่ยรูปแล้ว รอยเชื่อมหมวกปิดห่อจะไม่堪หนานและเกิดรูรั่วได้ง่าย

2. หมวกปิดห่อ หมวกปิดห่อที่ใช้ควรมีความหนาของผนังน้อยที่สุดที่จะทนต่อความเด่นที่เกิดขึ้นได้หมวกปิดห่อจะถูกเชื่อมติดกับปลายห่อ รูปแบบของการเชื่อมติดนี้มีความสำคัญมากต่อการสร้างอีกไปป์และแบ่งได้เป็น 4 แบบ คือ

แบบเชื่อมต่อชรมดา (Butt joint) , แบบเชื่อมประกบ (Lipped butt joint) , แบบเชื่อมเติมร่อง (Fillet joint) และแบบเชื่อมเหลี่ยม (Lap joint) ดังแสดงไว้ในรูปที่ ก.10



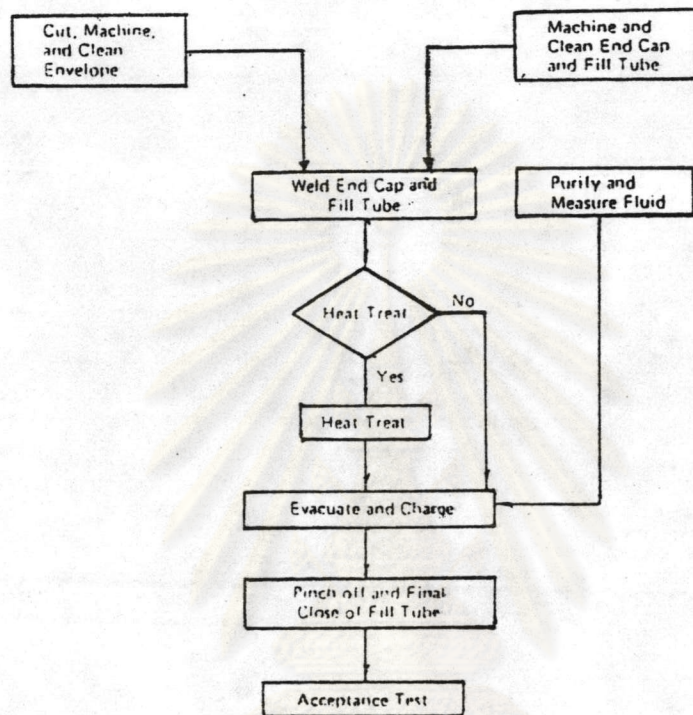
รูปที่ ก. 10 วิธีเชื่อมต่อหมวดนิปิดท่อแบบต่าง ๆ

สิ่งที่ควรระวังในการเชื่อมหมวดนิปิดท่อ คือ หมวดนิปิดท่อและตัวท่อต้องอยู่ในแนวตรง รอยเชื่อมต้องแข็งแรง ไม่มีรอยร้าวซึม ความหนาของรอยเชื่อมต้องมีขนาดใกล้เคียงกับความหนาของผนังท่อและรอยเชื่อมนั้นควรจะอยู่บนเนื้อของหมวดนิปิดท่อและบนตัวท่อเท่า ๆ กัน อิกหักต้องเป็นรอยที่สม่ำเสมอด้วย ในการเชื่อมต่อหมวดนิปิดท่อนี้ไม่ควรใช้การเชื่อมต่อแบบชرمดา (Butt joint)

3. ท่อเติม เป็นท่อต่อขนาดเล็กหมวดนิปิดท่อด้านใดด้านหนึ่งของอิกไป์ เพื่อใช้เป็นทางดึงหรือໄລ่อากาศออกจากอิกไป์และเติมของไ碌ใช้งานเข้าท่อ ก่อนที่ใช้งานอิกไป์จะต้องปิดท่อเติมให้สนิทเสียก่อน อาจจะโดยการบินให้แนบแล้วเชื่อมปิดปลาย ท่อเติมนี้ควรมีเส้นผ่าศูนย์กลางภายนอกไม่เกิน $1/4$ นิ้ว และเส้นผ่าศูนย์กลางภายใน $1/16$ นิ้ว

4. ของไลด์ใช้งาน ของไลด์ใช้งานที่ใส่ในท่ออิกไป์ต้องมีปริมาณที่พอเหมาะและต้องมีความบริสุทธิ์สูง

ขั้นตอนการสร้างอิทไบป์มิลเลดงไวร์ในรูปที่ ก. 11



รูปที่ ก. 11 แผนผังขั้นตอนการสร้างอิทไบป์

ก.3.2 การทำความสอดคล้องส่วนประกอบต่าง ๆ

ความสอดคล้องของส่วนประกอบมีผลต่อสมรรถนะและอายุการใช้งานของอิทไบป์มาก

วิธีการทำความสอดคล้องมีดังต่อไปนี้

ก.3.2.1 การทำความสอดคล้องส่วนประกอบที่เป็นโลหะ

แบ่งได้เป็น 3 ขั้นตอนคือ

1. การกำจัดคราบไขมัน (Degreasing) คราบไขมันที่ติดมากกับวัสดุอาจเป็นน้ำมัน ไข หรือจาระนี โดยทั่วไปจะใช้สารละลายน้ำมัน เช่น เมทธิลเอมีดิโครเมต (Methylenedichromate) ไตรคลอโรเอธาน (Trichloroethane) และไตรคลอโรเอทิลีน (Trichloroethylene) แต่ในยุคปัจจุบันได้นิยมใช้สารละลายน้ำมัน เช่น ไตรคลอโรเอธาน เพราะมีราคาถูกกว่าสารละลายน้ำมันที่สามารถใช้ทำความสะอาดได้ทุกชนิด โดยต้องผ่านเครื่องมือที่กันสมัย (Ultrasonic cleaning equipments) ในขณะที่ชั่นล่วนแซ่ดอยู่ในสารละลายควรจะใช้แรงแปรรูปเบา ๆ ด้วย

2. การกำจัดอนุภาคน้ำของแม็ง (Solid particle removal) อนุภาคน้ำของแม็งบางชนิดอาจถูกกำจัดออกໄไปตึ้งแต่ขั้นตอนการกำจัดคร่าวไชมันแล้ว แต่ยังมีอนุภาคน้ำบางอย่าง เช่น ไชมันสภาพกึ่งของแม็งหรือของแม็ง ซึ่งไม่สามารถล้างออกได้ด้วยสารละลาย จึงจำเป็นต้องใช้สารเคมีอัลคาไลน์ (Alkaline) เช่นใช้ Oakite ในกรณีของโลหะอ่อนๆ เช่น เหล็ก แอลูมิเนียม และ Coppa-Kleen ในกรณีของทองแดง เป็นต้น

สารอัลคาไลน์ที่ยกมาเนี้ยเป็นสื่อทางการค้าและประกอบด้วยสารอินทรีย์ที่ทำให้เกิดฟอง (Synthetic organic surfactants) หรือสูตร 2-10 % และเกลือของด่างอย่างน้อย 2 ชนิด เช่น เกลือของโซเดียมไฮดรอกไซด์ (Caustic soda) โซเดียมօโซซิลิเกต โซเดียมคาร์บอเนท (Soda ash) โซเดียมเตตราบอร์าต (Borax) หรือโซเดียมโพลิฟอสฟอล เป็นต้น

อนึ่ง ขั้นมีอนุภาคของแข็งอีกชนิดหนึ่งที่เกิดขึ้นผิวโลหะเนื้อแข็ง เช่น พวกสแตนเลสในรูปของจุดๆ บนผิวโลหะ เนื่องจากอนุภาคเหล่านี้สามารถทำปฏิกิริยาเคมีกับของของไหลใช้งานจึงต้องกำจัดออกโดยการใช้สารออกซิไดซิง ซึ่งไม่เกิดปฏิกิริยาเคมีกับตัวสแตนเลสเอง เช่น กรดไนtriกิไซเดียมไดโคโรเมท โปแตลเซียมไดโคโรเมท หรือสารผสมของสารพวกนี้

3. การกำจัดออกไซด์ (Deoxydizing) โลหะทั่วไปจะเกิดออกไซด์ปักคลุมผิวด้วยรอบ ซึ่งทำให้คุณสมบัติเปี่ยมผิวของโลหะนั้นลดลง

อีกทั้งออกไซด์ของโลหะบางชนิดก็สามารถทำปฏิกิริยาเคมีกับของเหลวใช้งาน และก่อให้เกิดสีที่ไม่ต้องการด้วย เช่น ออกไซด์ของอลูมิเนียมจะทำปฏิกิริยาเคมีกับแอมโมเนียมให้ก้าชในไตรเจน ไอโอดีนและโลหะอลูมิเนียม เป็นต้น ทำให้เชิงไปป์มีสมรรถนะต่ำลงมาก วิธีการทำจัดออกไซด์ย่อมขึ้นอยู่กับชนิดของโลหะ

การทำจัดออกไซด์ของทองแดงและอลูมิเนียมทำได้โดย จุ่มลงในสารละลายน้ำ 15-30 กก./ม³ โซเดียมไนโตรเมทและ 4-7 % โดยปริมาตรการกำมะถันที่อุณหภูมิห้องเป็นเวลา 5-30 นาที

หลังจากทำจัดออกไซด์จากซึ่งส่วนต่าง ๆ แล้วต้องล้างด้วยน้ำสะอาด 2 นาที และกลั่วด้วยน้ำกากลันทันที จากนั้น ทำให้แห้งด้วยอากาศสะอาด แล้วกลั่วด้วยไอโซโปรพิลแอลกออล์ไวร์น้ำ แล้วทำให้แห้งด้วยก้าชในไตรเจนร้อน 160 ° ฟ ที่ผ่านการกรองแล้ว

ตัวอย่างของขั้นตอนการทำความสะอาดซึ่งส่วนที่เป็นทองแดงและอลูมิเนียมมีดังนี้

1. แช่ในไตรคลอโรอีเทนอุณหภูมิห้องและใช้แปรงถูเป็นระยะ ๆ
2. กลั่วด้วยไตรคลอโรอีเทนอุณหภูมิห้อง
3. จุ่มอลูมิเนียมลงใน Oakite No 164 (15-75 กก./ม³) ส่วนทองแดงใน Coppa Kleen (15-75 กก./ม³) ที่ 140-180 ° ฟ เป็นเวลาราว 5-30 นาที
4. ซับด้วยน้ำสะอาด 2 นาที
5. จุ่มลงในสารละลายน้ำโซเดียมไนโตรเมทและกรดกำมะถันที่อุณหภูมิห้อง 5-30 นาที
6. ล้างด้วยน้ำสะอาด 2 นาที แล้วกลั่วด้วยน้ำกากลัน
7. เป่าให้แห้งด้วยอากาศสะอาด
8. ล้างด้วยไอโซโปรพิลแอลกออล์ไวร์น้ำ
9. เป่าให้แห้งด้วยก้าชในไตรเจนสีขาวที่ 160 ° ฟ

ก. 3.3.2 การทำความสะอาดของเหลวใช้งาน

การทำของไหลใช้งานให้บริสุทธิ์มีขั้นตอนดังนี้

1. การกลั่น ของไหลใช้งานจำพวกน้ำและสารละลายอินทรีย์ เช่น อาซิโตน เอทานอล เป็นต้น จำต้องผ่านการกลั่นเสียก่อน
2. การกำจัดความชื้น โดยใช้ซิลิกาเจล (Silica gel) หรือ อลูมีนา (Alumina)
3. การกำจัดก๊าซต่าง ๆ ที่ละลายอยู่ในของไหลใช้งาน โดยในกรณีที่ใช้งานอีกไปป์ที่อุณหภูมิสูงกว่า 200° ซ (392° F) จะเป็นต้องໄลก๊าซ ที่ละลายอยู่ในของไหลออกโดยวิธี Freezing degassing

ก. 3.3 ขั้นตอนการประกอบอีกไปป์

เมื่อทำความลักษณะเด่นส่วนต่าง ๆ เรียบร้อยแล้ว ควรประกอบเข้ากันทันทีโดยไม่ปล่อยทิ้งไว้เนิ่นนาน ขั้นตอนการประกอบที่สำคัญคือ การเชื่อมต่อหากปิดท่อและท่อเติม

ในการผลิตท่อไม่มีท่อเติมตั้งแต่แรก เราจะต้องเชื่อมท่อเติมกับหัวก้านท่อ หลังจากนั้นจึงทำการเชื่อมหากปิดท่อทั้งด้านที่มีท่อเติมและด้านที่ไม่มีท่อเติมเข้ากันท่อ การเชื่อมต่อทั้งหมดจะต้องไม่มีรอยร้าวและรอยร้าว เพราะจะทำให้ระบบสูญญากาศของอีกไปป์เสียได้ การเชื่อมที่สามารถใช้ได้ในการสร้างอีกไปป์นี้ได้แก่ การเชื่อมแบบ TIG (Tungsten-Inert Gas Welding) และการเชื่อมแบบ EBW (Electron Beam Welding)

ก. การเชื่อมแบบ TIG เป็นการเชื่อมด้วยไฟฟ้า โดยมีแท่งเชื่อมถาวร (electrode) เป็น Tungsten และลวดเชื่อม (filler metals) เป็นโลหะชนิดอื่น การเชื่อมแบบนี้จะมีช่องผ่านก๊าซเฉี่ยวยรอบ ๆ แท่งเชื่อมถาวรเพื่อป้องกันมลภาวะเชื่อมไม่ให้ลูกกับอากาศ ทำให้รอยเชื่อมสะอาดไม่เกิดรอยร้าว

ข. การเชื่อมแบบ EBW เป็นการเชื่อมที่มีการสร้างห้องสูญญากาศ

เพื่อปักป้องรอยเชื่อมจากอากาศ การเชื่อมแบบนี้ใช้ปริมาณความร้อนน้อยกว่า การเชื่อมทั่วไปและมีการกระหายของความร้อนบนผิวโลหะในบริเวณแคบ ๆ ทำให้ผิวโลหะและรอยเชื่อมไม่มีสารประกอบใด ๆ เกิดขึ้น

นอกจากการเชื่อมที่ถูกต้องแล้ว ควรมีอุปกรณ์ตรวจสอบรอยร้าวที่มีประสิทธิภาพสูง เช่น mass spectrometer โดยลดความดันในท่อลง แล้วตรวจสอบว่าแก๊สชีวีเลียมที่อยู่ภายนอกท่อซึมผ่านเข้าไปในท่อหรือไม่

การเชื่อมท่ออีกไปป์จะไม่ใช้น้ำยาประสาน (flux) ในการเชื่อม เพราะทำให้เกิดรอยร้าวได้ง่าย

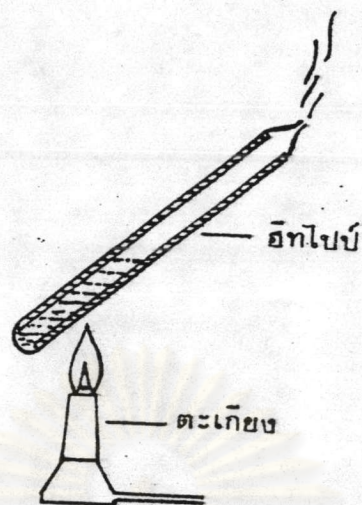
ก.3.4 การเติมของไหลใช้งานและการทำสูญญากาศ

เมื่อประกอบชิ้นส่วนต่าง ๆ เรียบร้อยแล้ว ลักษณะภายนอกจะเหมือนว่าไปป์ทุกอย่าง ขั้นตอนต่อไปเป็นการเติมของไหลใช้งานและการทำสูญญากาศภายในท่อ

วิธีที่จะกล่าวในที่นี้เป็นวิธีสำหรับการสร้างอีกไปป์ที่อุณหภูมิใช้งานต่ำ (Low temperature heat pipe) ซึ่งมีอยู่ 4 วิธี จากง่ายไปยาก ดังนี้

ก.3.4.1 แบบให้ความร้อนโดยตรงต่ออีกไปป์

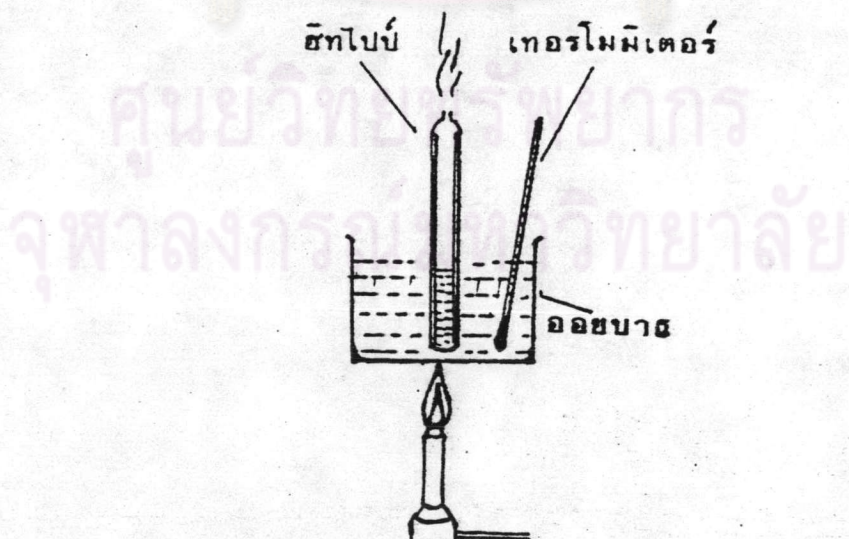
กรรมวิธีนี้นับว่าเป็นวิธีแบบง่ายที่สุด หลังจากประกอบชิ้นส่วนต่าง ๆ เป็นท่ออีกไปป์เรียบร้อยแล้ว จะเติมของไหลใช้งานเข้าไปในท่ออีกไปป์โดยตรง ในปริมาณมากเกินพอ จากนั้นใส่อากาศและก๊าซไม่ควบแน่นที่ค้างอยู่ในท่อและที่ปลายอยู่ในของเหลว โดยการเอาเปลวไฟไปบนบริเวณด้านล่างของอีกไปป์ ดังรูปที่ ก.13 เมื่อของไหลใช้งานเริ่มเดือดพล่าน ไอของไหลใช้งานที่ผุ้งออกมาก็จะช่วยให้อากาศที่อยู่ภายในท่ออีกไปป์ หลังจากปล่อยให้เดือดเป็นเวลาพอเหมาะสม และของไหลใช้งานในท่อมีปริมาณเหลือตามต้องการแล้ว ก็ทำการปิดผนึกปลายท่อด้านบนในขณะที่ของไหลใช้งานยังคงเดือดพล่านอยู่



รูปที่ ก.12 วิธีการผลิตอีกไป์แบบให้ความร้อนโดยตรง

ก. 3.4.2 แบบให้ความร้อนต่ออีกไป์โดยใช้ออยบაช (oil bath)

กรรมวิธีนี้ต้องลงทุนมากกว่าวิธีที่ 1 เล็กน้อย แต่หลักการดำเนินงานยังคงเหมือนกัน จะต่างกันตรงที่วิธีที่สองนี้ใช้ออยบაชที่รักษาอุณหภูมิของน้ำมันร้อนให้คงที่ (รูปที่ ก.14) เพื่อให้เกิดการเดือดอย่างสม่ำเสมอและสามารถควบคุมปริมาณของไอลิฟฟ์ในท่อโดยการควบคุมระยะเวลาที่เดือด ตั้งนี้จึงสามารถสร้างอีกไป์ที่มีลักษณะใกล้เคียงกับที่ออกแบบไว้และในเวลาอันสั้นด้วย (mass production)



รูปที่ ก.13 วิธีการผลิตอีกไป์แบบใช้ออยบაช

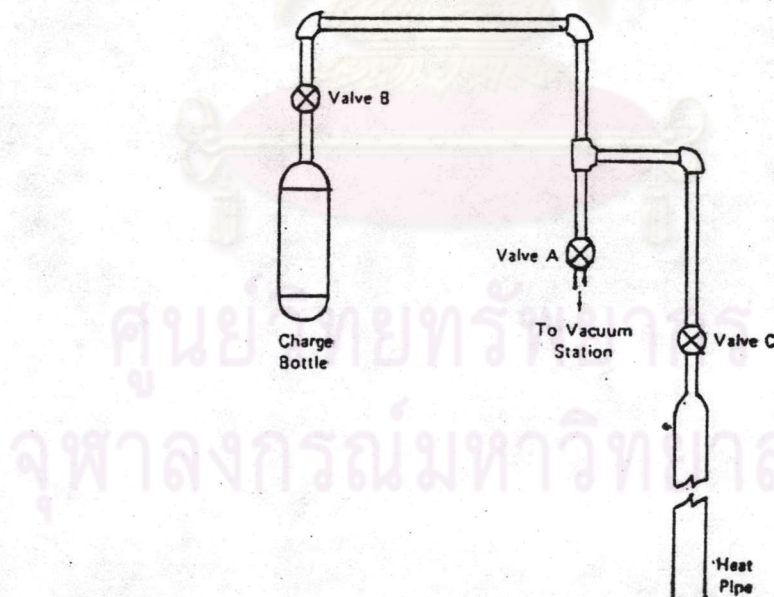
วิธีนี้เป็นวิธีผลิตอีกไปร์ที่เลือกใช้ในงานวิจัยนี้

เนื่องจากการมีวิธีทั้งสองแบบข้างต้นใช้อุปกรณ์ของของเหลวไปไม่ท่อหากต้องการท่ออยู่ภายในท่อ จึงมีชื่อเรียกว่า การสร้างแบบการระเหย

วิธีอีก 2 วิธี ที่จะแนะนำต่อไปนี้เป็นวิธีที่สร้างระบบสูญญากาศภายในท่อโดยใช้ปั๊มสูญญากาศ (Vacuum pump) ปั๊มสูญญากาศที่ใช้ต้องสามารถสร้างสูญญากาศได้ถึง 10^{-4} torr. เช่น diffusion pump หรือ sorption pump ที่มี molecular sieve

ก. 3.4.3 การใช้ปั๊มสูญญากาศแบบที่ 1

เป็นวิธีที่ใช้ปั๊มสูญญากาศ แต่ไม่ยุ่งยาก กรรมวิธีมีแสดงไว้ในรูป ก. 14 โดยมีขั้นตอนการผลิตดังต่อไปนี้



รูปที่ ก. 14 ระบบการผลิตอีกไปร์โดยใช้ปั๊มสูญญากาศ แบบที่ 1

ก. การໄລ່ກັບອອກຈາກຂອງໄຫລໃຊ້ງານໂດຍວິທີ *freezing degassing*

บรรจุຂອງໄຫລໃຊ້ງານໄວ້ໃນຂວດປົ້ນ (*charge bottle*) ແລ້ວປິດ
ວາລໍວ A, B ແລະ C ແຫ່ງຂວດປົ້ນໄວ້ໃນຄັ້ງກັບໃນໂຕຣເຈນເຫຼວ ຄ້າຂອງໄຫລ
ໃຊ້ງານເປັນແມ່ນໂມເນີຍ (ຄ້າເປັນໂສເຕີມເຫຼວ ໃຫ້ປ່ອຍທຶນໄວ້ທີ່ອຸ່ນຫວຸມທົ່ວງ)
ເມື່ອຂອງໄຫລໃຊ້ງານແຂ້ງຕົວແລ້ວ ນໍາເອາຂວດປົ້ນອອກແລະປ່ອຍໃຫ້ຂອງໄຫລໃຊ້ງານ
ຫລວມຕົວເພື່ອໄລ່ຝອງຂອງກັບທີ່ຕິດຕ້າງອູ້ໃນຂອງໄຫລທີ່ແຂ້ງຕົວ ຈາກນີ້ເປີດວາລໍວ A
ແລະ B ເພື່ອດຸດເອາກັບອອກ (ຂອງໄຫລໃຊ້ງານບາງສ່ວນທີ່ຮະເໝຍເປັນໄວ້ຈະຖຸກ^{ດຸດອອກມາດ້ວຍ}) ແລ້ວປິດວາລໍວ ແລະກຳຫຼຬກປະມາດ 2-4 ຄັ້ງ ຈົນແນໃຈວ່າ
ຂອງໄຫລໃຊ້ງານໄມ້ມີກັບສະລະລາຍເຫຼືອອູ້

ข. การກຳສູງຢາກຕະກາຍໃນທ່ອແລະການເຕີມຂອງໄຫລໃຊ້ງານ

ເມື່ອໄດ້ຂອງໄຫລໃຊ້ງານຈາກຂັ້ນຕອນກ່ອນແລ້ວ ຕ່ອໄປເປັນການກຳສູງຢາກຕະ
ກາຍໃນທ່ອ ແລະການເຕີມຂອງໄຫລໃຊ້ງານ

ລຳດັບຂອງຂັ້ນຕອນໂດຍສຽງມີແລດງໃນຮູບ ก. 15

1. ດຸດອາກາສອກໂດຍປິດວາລໍວ B ແລ້ວເປີດວາລໍວ A ແລະ C ໃຫ້
ຄວາມຮ້ອນກັບອີກໄປປ່ານ ເພື່ອໃຫ້ກັບທີ່ເກາະອຍ່ຍິນເນື້ອວັດຖຸທ່ອແລະວິກຄ່າຫລຸດອອກມາ
ຮະຍະເວລາທີ່ໃໝ່ໃນການດຸດອາກາສແລະກັບອອກນີ້ຈະຂັ້ນໂດຍທຽງກັບອຸ່ນຫວຸມທີ່ອີກໄປປ່ານ

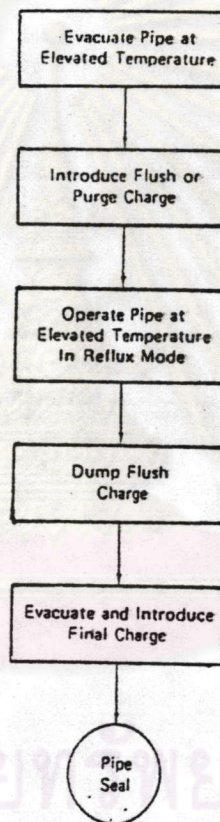
2. ກລັ້ວທ່ອດ້ວຍຂອງເຫຼວໃຊ້ງານ ໂດຍເປີດວາລໍວ B ແລະກຳຂວດປົ້ນ
ເຂົ້າໃຫ້ຮ້ອນກວ່າຈຸດເດືອດຂອງຂອງໄຫລໃຊ້ງານທີ່ຄວາມດັນໃນຮະບັນນັ້ນ ປ່ອຍໃຫ້ໄວ້ຂອງ
ຂອງໄຫລໃຊ້ງານໄຫລເຂົ້າໄປໃນທ່ອເລັກນ້ອຍເພື່ອກລົ້ວງາຍໃນທ່ອ ແລ້ວປິດວາລໍວ B ເພື່ອ^{ດຸດເອາຂອງໄຫລໃຊ້ງານອອກ} ແລະເປີດວາລໍວ B ໃໝ່ ກຳຫຼຬກປະມາດ 2 ຄັ້ງ

3. ບຽບແນ້ວຂອງໄຫລໃຊ້ງານ ປະມາດທີ່ບໍ່ບຽບສຸລາມາຮຄວັດແລະຄວບຄຸມໄດ້
ໂດຍວິທີຕ່າງກັນ ຂັ້ນກັບສະຖານະຂອງຂອງໄຫລໃຊ້ງານທີ່ອຸ່ນຫວຸມທົ່ວງ ດັ່ງຕ່ອໄປນີ້

3.1 ສະຖານະກັບ (ກຣັດຂອງ *Cryogenic heat pipe-fluid*) ປະມາດທີ່ບໍ່ບຽບສຸລາມາຮຄວັດໄດ້ຈາກຄວາມດັນກາຍໃນທ່ອທີ່ອຸ່ນຫວຸມທົ່ວງ ໂດຍ
ການປິດວາລໍວ A ເປີດວາລໍວ B ແລະ C ຈົນໄດ້ປະມາດທີ່ຕ້ອງການ ເມື່ອປິດ

วาร์ล์ B และ C ท่ออีกไปป์ก็อยู่ในสภาพพร้อมที่จะปิดผนึก

3.2 สถานะของเหลาหรือของแข็ง ปริมาณที่บรรจุสามารถวัดได้จากผลต่างของปริมาณของของเหลวใช้งานก่อน และหลังการบรรจุ โดยการปิดวาร์ล์ A เปิดวาร์ล์ B และ C เมื่อให้ความร้อนกับขวดบ้อนเข้าในขณะที่ให้ความเย็นท่ออีกไปป์ ของเหลวใช้งานก็จะกล้ายเป็นไอและเหลวจากขวดบรรจุ และไปควบแน่นในท่ออีกไปป์ เมื่อได้ปริมาณตามที่ต้องการแล้วก็ปิดวาร์ล์ B และ C ท่ออีกไปป์จะอยู่ในสภาพพร้อมที่จะปิดผนึก

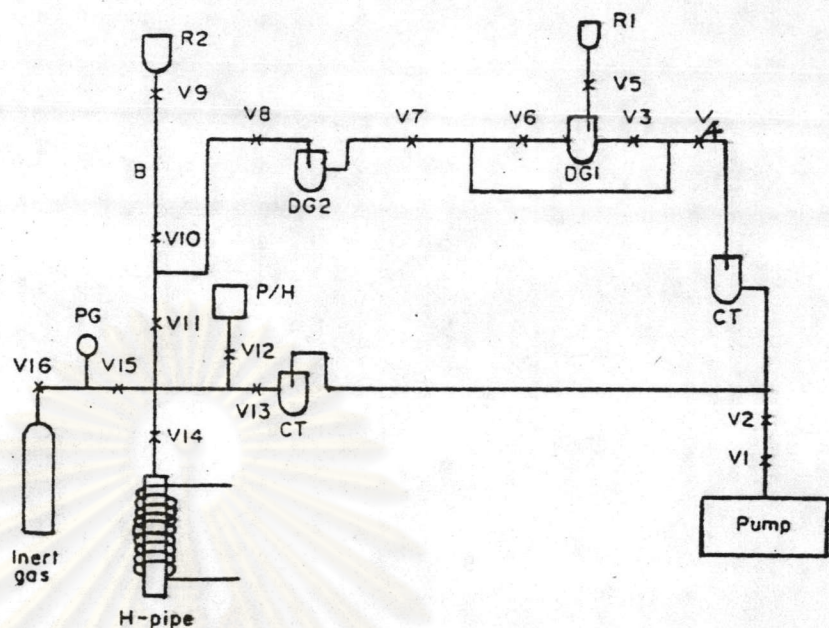


รูปที่ ก. 15 ลำดับขั้นตอนการสร้างอีกไปป์

ก. 3.4.4 การใช้บีมสูญญากาศแบบที่ 2

เป็นกรรมวิธีที่ใช้สร้างอีกไปป์ที่ซับซ้อนมากกว่ากรรมวิธีแบบที่ 3 กรรมวิธีการผลิตนี้มีแสดงไว้ในรูปที่ ก. 16 ดังต่อไปนี้

- ก. การไล่ก๊าซที่ละลายอยู่ในของเหลวใช้งาน
- ข. การกำสูญญากาศภายในท่อและการเติมของเหลวใช้งาน



รูปที่ ก.16 ระบบการผลิตอีทไปป์โดยใช้บีมสูญญากาศแบบที่ 2
ขั้นตอนการผลิตมีดังนี้

1. เปิดวาล์วทึ่งหมดที่เปิดสู่ภายนอก (V5, V9, V14, V15)
2. เดินบีมสูญญากาศโดยวาล์ว V1, V2 ยังคงปิดอยู่
3. หล่อเย็นตัวบีมสูญญากาศและกับดักเย็น (Cold Trap, CT) ด้วยก๊าซในไตรเจนเหลว
4. ทึ่งไว้ประมาณ 30 นาที เปิดวาล์ว V1, V2 ดูดอากาศ ในระบบออกจนได้ความดันประมาณ 0.01 มม. ปรอท เวลา ที่ใช้ในการนี้จะขึ้นกับความจุของบีม ความสะอาดของระบบ และ ปริมาณภายในรวมของระบบ
5. เปิดวาล์ว V4, V5 และ V6 เติมของเหลวใช้งานลงใน R1
6. ค่อยๆ เปิดวาล์ว V5 ให้ของเหลวใช้งานลงสู่ภาชนะ DG, เมื่อได้ปริมาณมากพอ ก็ปิด แล้วทำให้แข็งตัวโดยแช่ในก๊าซ ในไตรเจนเหลว
7. เมื่อของเหลวใช้งานแข็งตัว เปิดวาล์ว V4 เพื่อดูดเอาอากาศ ออก และปิดจากนั้นทำให้ของเหลวใช้งานหลอมตัวและปล่อยให้ ฟองก๊าซบุกออก แล้วทำให้ของเหลวใช้งานแข็งตัวใหม่
8. เปิดวาล์ว V4 เพื่อดูดเอาก๊าซที่หลุดออกจากการของเหลวใช้งานออก

๙. ปิดวาล์ว V4 , V3 , V8 และเปิดวาล์ว V6 , V7
แซ่ DG₂ ในถังในตอรเจนเหลว

10. หลอมเหลวของเหลวใช้งานใน DG₁ ด้วยลมร้อน แล้วส่งของเหลวใช้งานไปยัง DG₂ จากนั้นก็ทำการไล่ก๊าซที่ละลายอยู่ในของเหลวใช้งานออกในลักษณะเดียวกับ DG₁

11. หลังจากของเหลวใช้งานผ่านการไล่อากาศออกแล้ว ปิดวาล์ว V4 , V6 เพื่อกันการไหลย้อนกลับของของเหลวใช้งาน

12. ปิดวาล์ว V7 , V11 และเปิดวาล์ว V8 , V10 จากนั้นก็ใช้ความร้อนไล่ของเหลวใช้งานให้เข้าไปอยู่ในบูร์เร็ต (Burette , B) แล้วปิดวาล์ว V10 , V8 และเปิดวาล์ว V11 จากนั้นตึงสูญญากาศให้มากขึ้นถึงประมาณ 0.005 มม.ป.ร.อ.

13. ติดหัวอีทไปป์เข้ากับระบบ เปิดวาล์ว V14 เพื่อคุณภาพอากาศออกพร้อมกับให้ความร้อนต่ออีทไปป์ รอจนระดับของสูญญากาศกลับศูนย์ที่เดิม

14. จุ่มปลายด้านล่างของอีทไปป์ลงในถังในตอรเจนเหลว ค่ายๆ เปิดวาล์ว V10 เพื่อส่งของเหลวใช้งานไปควบแน่นในหัวอีทไปป์ เมื่อได้ปริมาณมากพอ ก็ปิดวาล์ว V10 ใช้ความร้อนไล่ของเหลวใช้งานที่ยังคงตกค้างอยู่ให้เข้าไปในหัวอีทไปป์จนหมดแล้วปิดวาล์ว

15. ทำการไล่ก๊าซออกจากการของเหลวใช้งานในหัวอีทไปป์โดยวิธี freezing degassing อิกคริง โดยเปิด - ปิดวาล์ว V14 จากนั้นหัวอีทไปป์ก็อยู่ในสภาพพร้อมที่จะปิดผนิก

ก.3.5 การปิดผนิกหัวอีทไปป์

ต้องปิดผนิกก่อนนำไปใช้งาน วิธีการปิดผนิกหัวอีทไปป์มีหลายอย่าง แต่วิธีที่เป็นที่ยอมรับว่าประหยัดและไม่มีรอยร้าว เป็นดังนี้

1. บีบปลายหัวเติมให้แน่นสนิท โดยปล่อยเครื่องบีบหัวค้างไว้
2. ตัดหัวอีทไปป์ออกจากราวล์ฟที่ริมรอยบีบด้านขวาล้วน
3. เชื่อมปลายหัวเติมด้วยวิธีการเชื่อมแบบ TIG หรือแบบ EBW จากนั้นจึงคลายเครื่องบีบหัวได้

แม้การสร้างหัวอีทไปป์จะเสร็จสมบูรณ์แล้ว แต่ก็จำเป็นต้องผ่านการทดสอบสมรรถนะเสียก่อน จึงจะมั่นใจในคุณภาพได้

ภาคผนวก ช.

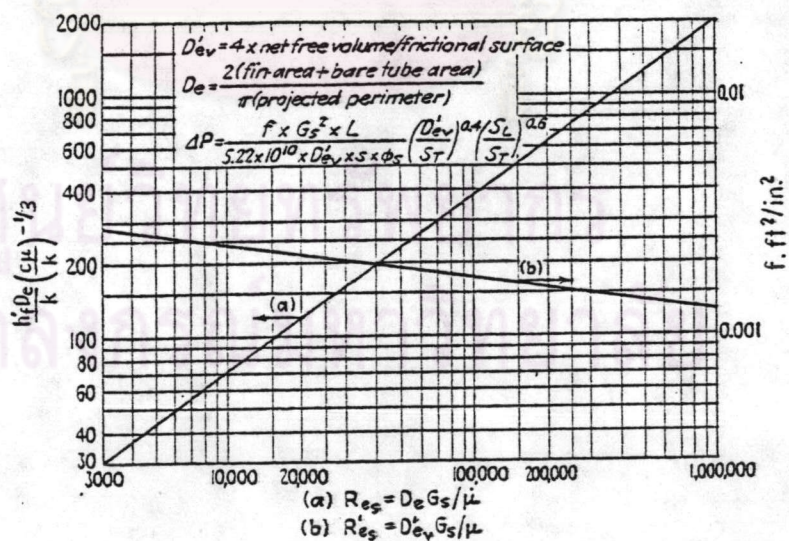
ค่าคงที่ต่าง ๆ และหน่วยเปรียบเทียบ

ตาราง ช. 1 ค่าคงที่ในสมการของ Zukausk

Table 8-5 Constant c_2 and exponent m of Eq. (8-97)

Geometry	Re	c_2	m	Remarks
In-line	10 to 10^2	0.8	0.40	Large and moderate longitudinal pitch, can be regarded as a single tube
	10^2 to 10^3			
	10^3 to 2×10^5	0.27	0.63	
Staggered	2×10^5 to 10^6	0.21	0.84	
	10 to 10^2	0.9	0.40	About 20 percent higher than that for single tube
	10^2 to 10^3			
	10^3 to 2×10^5	$0.35 \left(\frac{S_T}{S_L} \right)^{0.2}$	0.60	$\frac{S_T}{S_L} < 1$
	10^3 to 2×10^5	0.40	0.60	$\frac{S_T}{S_L} > 2$
	2×10^5 to 10^6	0.022	0.84	

Source: Zukauskas [47].



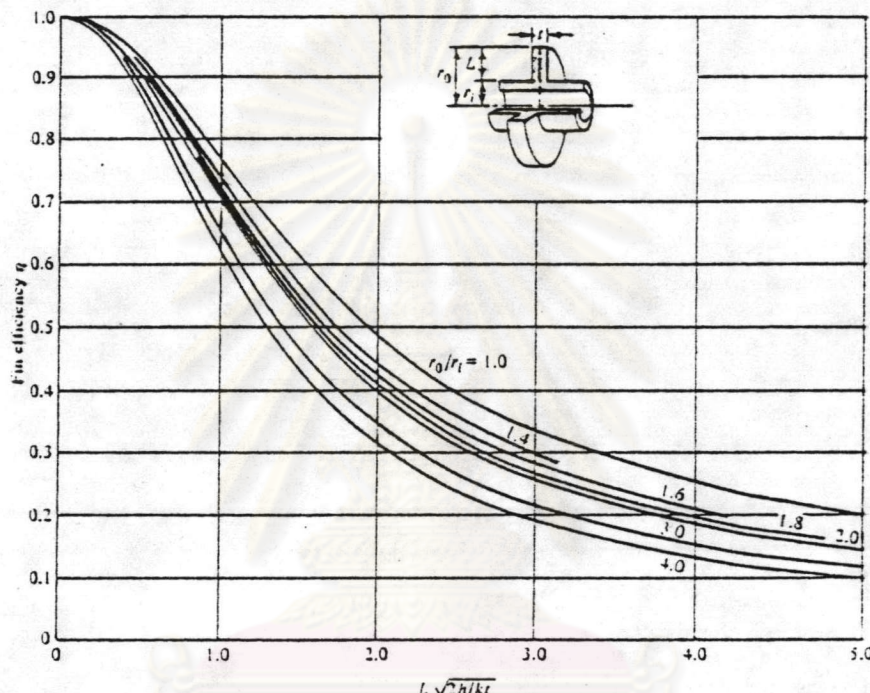
รูป ช. 1 สัมประสิทธิ์การถ่ายเทความร้อนและความดันสูญเสียของครีบ

ตาราง ช. 2 หน่วยเปรียบเทียบต่าง ๆ

DIMENSIONAL EQUIVALENTS

Length	$1 \text{ ft} = 12 \text{ in.} = 30.48 \text{ cm} = 0.3048 \text{ m}$
Mass	$1 \text{ lbm} = 100 \text{ cm} = 39.37 \text{ in.} = 3.28 \text{ ft}$ $1 \text{ lbm} = 0.03108 \text{ slug} = 453.59 \text{ g} = 0.45359 \text{ kg}$ $1 \text{ kg} = 1000 \text{ g} = 0.06852 \text{ slug} = 2.205 \text{ lbm}$
Time	$1 \text{ hr} = 3600 \text{ sec}$
Force	$1 \text{ lbf} = 4.448 \times 10^5 \text{ dyne} = 4.448 \text{ N}$ $1 \text{ N} = 10^5 \text{ dyne} = 0.2249 \text{ lbf}$
Angle	$1 \text{ degree} = 1.745 \times 10^{-2} \text{ rad}$ $1 \text{ rad} = 57.30 \text{ degrees}$
Temperature	$1 \text{ deg F} = 1 \text{ deg R} = 0.5556 \text{ deg C} = 0.5556 \text{ deg K}$ $1 \text{ deg K} = 1 \text{ deg C} = 1.8 \text{ deg R} = 1.8 \text{ deg F}$ $\text{deg F} = 1.8 \text{ deg C} + 32$ $\text{deg C} = 0.5556(\text{deg F} - 32)$ $\text{deg R} = \text{deg F} + 459.69$ $\text{deg K} = \text{deg C} + 273.16$ $\text{deg R} = 1.8 \text{ deg K}$ $\text{deg K} = 0.5556 \text{ deg R}$
Energy	$1 \text{ Btu} = 777.66 \text{ ft-lbf} = 252 \text{ cal} = 1.054 \times 10^{10} \text{ erg} = 1054 \text{ J}$ $1 \text{ J} = 10^7 \text{ erg} = 0.239 \text{ cal} = 0.7375 \text{ ft-lbf} = 9.485 \times 10^{-4} \text{ Btu}$
Power	$1 \text{ Btu/hr} = 2.778 \times 10^{-4} \text{ Btu/sec} = 2.929 \times 10^6 \text{ erg/sec} = 0.2929 \text{ W}$ $1 \text{ W} = 10^7 \text{ erg/sec} = 9.481 \times 10^{-4} \text{ Btu/sec} = 3.414 \text{ Btu/hr}$
Pressure	$1 \text{ lbf/in.}^2 = 6.944 \times 10^{-3} \text{ lbf/in.}^2 = 478.8 \text{ dyne/cm}^2 = 47.88 \text{ N/m}^2$ $1 \text{ lbf/in.}^2 = 144 \text{ lbf/ft}^2 = 68,948 \text{ dyne/cm}^2 = 6894.8 \text{ N/m}^2$ $1 \text{ N/m}^2 = 10 \text{ dyne/cm}^2 = 1.450 \times 10^{-4} \text{ lbf/in.}^2$
Area	$1 \text{ ft}^2 = 144 \text{ in.}^2 = 929 \text{ cm}^2 = 0.0929 \text{ m}^2$
Volume	$1 \text{ m}^3 = 10^4 \text{ cm}^3 = 1550 \text{ in.}^3 = 10.76 \text{ ft}^3$ $1 \text{ ft}^3 = 1728 \text{ in.}^3 = 2.832 \times 10^4 \text{ cm}^3 = 0.02832 \text{ m}^3$ $1 \text{ m}^3 = 10^6 \text{ cm}^3 = 6.102 \times 10^4 \text{ in.}^3 = 35.31 \text{ ft}^3$
Density	$1 \text{ gal (U.S. liquid)} = 0.13368 \text{ ft}^3 = 0.003785 \text{ m}^3$ $1 \text{ lbm/ft}^3 = 0.03108 \text{ slug/ft}^3 = 1.602 \times 10^{-2} \text{ g/cm}^3 = 16.02 \text{ kg/m}^3$ $1 \text{ kg/m}^3 = 10^{-3} \text{ g/cm}^3 = 0.00194 \text{ slug/ft}^3 = 0.06242 \text{ lbm/ft}^3$
Viscosity (dynamic)	$1 \text{ lbm/ft-hr} = 8.634 \times 10^{-6} \text{ slug/ft-sec} = 4.134 \times 10^{-3} \text{ g/cm-sec} = 4.134 \times 10^{-4} \text{ kg/m-sec}$
Thermal conductivity	$1 \text{ kg/m-sec} = 10 \text{ g/cm-sec} = 2.089 \times 10^{-2} \text{ slug/ft-sec} = 2.419 \times 10^3 \text{ lbm/ft-hr}$ $1 \text{ Btu/ft-hr-F} = 2.778 \times 10^{-4} \text{ Btu/ft-sec-F} = 1.730 \times 10^5 \text{ erg/cm-sec-K} = 1.730 \text{ W/m-K}$ $1 \text{ W/m-K} = 10^5 \text{ erg/cm-sec-K} = 1.606 \times 10^{-4} \text{ Btu/ft-sec-F} = 0.578 \text{ Btu/ft-hr-F}$

Surface tension	$1 \text{ lbf/ft} = 1.459 \times 10^4 \text{ dyne/cm} = 14.59 \text{ N/m}$
	$1 \text{ N/m} = 10^3 \text{ dyne/cm} = 0.06854 \text{ lbf/ft}$
Latent heat of vaporization	$1 \text{ Btu/lbm} = 32.174 \text{ Btu/slug} = 2.32 \times 10^7$
	$\text{erg/g} = 2.324 \times 10^3 \text{ J/kg}$
	$1 \text{ J/kg} = 10^4 \text{ erg/g} = 1.384 \times 10^{-2}$
	$\text{Btu/slug} = 4.303 \times 10^{-4} \text{ Btu/lbm}$
Heat transfer coefficient	$1 \text{ Btu/ft}^2 \cdot \text{hr} \cdot \text{F} = 5.674 \times 10^3$
	$\text{erg/cm}^2 \cdot \text{sec} \cdot \text{K} = 5.674 \text{ W/m}^2 \cdot \text{K}$
	$1 \text{ W/m}^2 \cdot \text{K} = 10^3 \text{ erg/cm}^2 \cdot \text{sec} \cdot \text{K} =$
	$0.1762 \text{ Btu/ft}^2 \cdot \text{hr} \cdot \text{F}$



รูป ข.2 ประสิทธิภาพของครีบ

PHYSICAL CONSTANTS

Gravitational acceleration (standard), $g = 32.174 \text{ ft/sec}^2 = 980.7 \text{ cm/sec}^2 = 9.807 \text{ m/sec}^2$

Universal gas constant, $\bar{R} = 1545.2 \text{ ft-lbf/lbm-mol-R} = 1.987 \text{ Btu/lbm-mol-R} = 8.314 \times 10^7 \text{ erg/g-mol-K} = 8.314 \times 10^3 \text{ J/kg-mol-K}$

Mechanical equivalent of heat, $J = 777.66 \text{ ft-lbf/Btu} = 4.184 \times 10^7 \text{ erg/cal} = 1 \text{ N-m/J}$

Stefan-Boltzmann constant, $\sigma = 0.1713 \times 10^{-8} \text{ Btu/ft}^2 \cdot \text{hr} \cdot \text{R}^4 = 5.670 \times 10^{-5} \text{ erg/cm}^2 \cdot \text{sec} \cdot \text{K}^4 = 5.670 \times 10^{-8} \text{ W/m}^2 \cdot \text{K}^4$

ตาราง ข.3 ค่าคงที่

ภาคผนวก ค.

คุณสมบัติของน้ำและวัสดุของแข็ง

ตาราง ค. 1 ความหนาแน่นของน้ำที่อุณหภูมิต่าง ๆ

VOLUME PROPERTIES OF ORDINARY WATER

G. S. KELL

Reprinted by permission of the American Chemical Society, publishers
of Journal of Chemical and Engineering Data, 12, 67-68 (1967)

(Specific volume v , density ρ , thermal expansivity $\alpha = d \ln v/dt$
 $= -d \ln \rho/dt$, compressibility $\kappa = -d \ln v/dp = d \ln \rho/dp$)

$t, ^\circ C.$	$v, \text{Cc./G.}$	$\rho, \text{G./MI.}$	$10^6 \alpha, \text{Deg}^{-1}$	$10^6 \kappa, \text{Bar}^{-1}$	$t, ^\circ C.$	$v, \text{Cc./G.}$	$\rho, \text{G./MI.}$	$10^6 \alpha, \text{Deg}^{-1}$	$10^6 \kappa, \text{Bar}^{-1}$
-20	1.00658	0.99349	-678.48	61.94	48	1.011194	0.988957	443.95	44.15
-18	1.00532	0.99474	-580.83	60.48	49	1.011647	0.988515	450.92	44.16
-16	1.00424	0.99581	-495.74	59.11	50	1.012107	0.988066	457.81	44.17
-14	1.00332	0.99672	-420.85	57.83	51	1.012574	0.987610	464.64	44.19
-12	1.00254	0.99749	-354.33	56.64	52	1.013048	0.987148	471.40	44.21
-10	1.001895	0.998137	-294.73	55.52	53	1.013529	0.986680	478.10	44.24
-9	1.001614	0.998417	-267.18	54.99	54	1.014017	0.986205	484.74	44.26
-8	1.001359	0.998671	-240.95	54.48	55	1.014512	0.985723	491.32	44.29
-7	1.001131	0.998899	-215.94	53.98	56	1.015014	0.985236	497.84	44.33
-6	1.000926	0.999102	-192.06	53.50	57	1.015522	0.984743	504.30	44.37
-5	1.000746	0.999283	-169.22	53.04	58	1.016038	0.984243	510.71	44.41
-4	1.000587	0.999441	-147.34	52.60	59	1.016560	0.983737	517.07	44.45
-3	1.000451	0.999578	-126.36	52.17	60	1.017089	0.983226	523.38	44.50
-2	1.000334	0.999694	-106.20	51.76	61	1.017625	0.982708	529.64	44.55
-1	1.000238	0.999790	-86.31	51.36	62	1.018167	0.982185	535.85	44.61
0	1.000160	0.999868	-68.14	50.98	63	1.018716	0.981655	542.02	44.66
1	1.000101	0.999927	-50.14	50.61	64	1.019271	0.981120	548.14	44.72
2	1.000060	0.999968	-32.77	50.26	65	1.019833	0.980580	554.22	44.79
3	1.000036	0.999992	-15.98	49.92	66	1.020402	0.980034	560.26	44.85
4	1.000028	1.000000	0.26	49.59	67	1.020977	0.979482	566.26	44.92
5	1.000036	0.999992	15.98	49.28	68	1.021558	0.978924	572.22	45.00
6	1.000060	0.999968	31.23	48.98	69	1.022146	0.978361	578.15	45.07
7	1.000098	0.999930	46.01	48.69	70	1.022740	0.977793	584.04	45.15
8	1.000151	0.999877	60.37	48.41	71	1.023340	0.977219	589.89	45.23
9	1.000219	0.999809	74.33	48.15	72	1.023947	0.976640	595.72	45.32
10	1.000300	0.999728	87.90	47.89	73	1.024560	0.976056	601.51	45.40
11	1.000395	0.999634	101.12	47.65	74	1.025180	0.975466	607.27	45.49
12	1.000502	0.999526	113.99	47.42	75	1.025805	0.974871	613.00	45.59
13	1.000623	0.999406	126.54	47.19	76	1.026437	0.974271	618.71	45.68
14	1.000755	0.999273	138.78	46.98	77	1.027076	0.973665	624.39	45.78
15	1.000900	0.999129	150.73	46.78	78	1.027720	0.973055	630.04	45.88
16	1.001057	0.998972	162.41	46.59	79	1.028371	0.972439	635.67	45.99
17	1.001225	0.998804	173.82	46.40	80	1.029027	0.971819	641.27	46.10
18	1.001405	0.998625	184.99	46.23	81	1.029690	0.971193	646.86	46.21
19	1.001596	0.998435	195.91	46.06	82	1.030360	0.970562	652.42	46.32
20	1.001797	0.998234	206.61	45.91	83	1.031035	0.969926	657.96	46.44
21	1.002010	0.998022	217.10	45.76	84	1.031716	0.969286	663.48	46.56
22	1.002232	0.997801	227.37	45.62	85	1.032404	0.968640	668.98	46.68
23	1.002465	0.997569	237.45	45.48	86	1.033098	0.967990	674.47	46.81
24	1.002708	0.997327	247.34	45.36	87	1.033797	0.967335	679.94	46.94
25	1.002961	0.997075	257.05	45.24	88	1.034503	0.966674	685.40	47.07
26	1.003224	0.996814	266.59	45.13	89	1.035216	0.966009	690.84	47.20
27	1.003496	0.996344	275.96	45.02	90	1.035934	0.965340	696.26	47.34
28	1.003778	0.996264	285.17	44.93	91	1.036658	0.964665	701.68	47.48
29	1.004069	0.995976	294.23	44.84	92	1.037389	0.963986	707.08	47.63
30	1.004369	0.995678	303.14	44.75	93	1.038125	0.963302	712.48	47.77
31	1.004678	0.995372	311.92	44.67	94	1.038868	0.962613	717.86	47.93
32	1.004995	0.995057	320.55	44.60	95	1.039617	0.961920	723.24	48.08
33	1.005322	0.994734	329.06	44.54	96	1.040372	0.961222	728.60	48.24
34	1.005657	0.994403	337.44	44.48	97	1.041133	0.960519	733.96	48.40
35	1.006000	0.994063	345.71	44.42	98	1.041900	0.959812	739.32	48.56
36	1.006352	0.993716	353.85	44.37	99	1.042673	0.959100	744.67	48.73
37	1.006713	0.993360	361.89	44.33	100	1.043453	0.958384	750.01	48.90
38	1.007081	0.992997	369.81	44.29	101	1.044239	0.957662	755.36	49.07
39	1.007457	0.992626	377.64	44.25	102	1.045030	0.956937	760.70	49.25
40	1.007842	0.992247	385.36	44.22	103	1.045828	0.956207	766.03	49.43
41	1.008234	0.991861	392.99	44.20	104	1.046633	0.955472	771.37	49.62
42	1.008634	0.991467	400.52	44.18	105	1.047443	0.954733	776.71	49.80
43	1.009042	0.991067	407.97	44.16	106	1.048260	0.953989	782.05	50.00
44	1.009458	0.990659	415.33	44.15	107	1.049083	0.953240	787.39	50.19
45	1.009881	0.990244	422.60	44.15	108	1.049912	0.952488	792.73	50.39
46	1.010311	0.989822	429.80	44.14	109	1.050747	0.951730	798.07	50.59
47	1.010749	0.989393	436.91	44.15	110	1.051589	0.950968	803.42	50.80

ตาราง ค. 2 ความถ้วนความร้อนของน้ำที่อุณหภูมิต่าง ๆ



SPECIFIC HEAT OF WATER

Heat Capacity of Air-free Water 0°-100°C at 1 Atmosphere Pressure

The heat capacity of air-free water is given in international steam table calories per gram and in absolute joules per gram. (1 absolute joule = 0.238846 I.T. Cal.)

The enthalpy or heat content is given for air-free water in I.T. Cal per gram and in absolute joules per gram.

From Osborne, Sturges and Ginnings; B. of S. Jour. Res. 23, 238, 1930.

Temp. °C.	Thermal Capacity		Enthalpy		Temp. °C	Thermal Capacity		Enthalpy	
	Cal/g/°C	Joules/g/°C	Cal/g	Joules/g		Cal/g/°C	Joules/g/°C	Cal/g	Joules/g
0	1.00738	4.2177	0.0245	0.1026	50	.99854	4.1807	50.0079	209.3729
1	1.00652	4.2141	1.0314	4.3184	51	.99862	4.1910	51.0065	213.5538
2	1.00571	4.2107	2.0376	8.5308	52	.99871	4.1814	52.0051	217.7350
3	1.00499	4.2077	3.0429	12.7400	53	.99878	4.1817	53.0039	221.9166
4	1.00430	4.2048	4.0475	16.9462	54	.99885	4.1820	54.0027	226.0984
5	1.00368	4.2022	5.0515	21.1498	55	.99895	4.1824	55.0016	230.2806
6	1.00313*	4.1999	6.0549	25.3508	56	.99905	4.1828	56.0006	234.4632
7	1.00260	4.1977	7.0578	29.5496	57	.99914	4.1832	56.9997	238.6462
8	1.00213	4.1957	8.0602	33.7463	58	.99924	4.1836	57.9989	242.8296
9	1.00170	4.1939	9.0621	37.9410	59	.99933	4.1840	58.9982	247.0134
10	1.00129	4.1922	10.0636	42.1341	60	.99943	4.1844	59.9975	251.1976
11	1.00093	4.1907	11.0647	46.3255	61	.99953	4.1849	60.9970	255.3822
12	1.00060	4.1893	12.0654	50.5155	62	.99964	4.1853	61.9966	259.5673
13	1.00029	4.1880	13.0659	54.7041	63	.99976	4.1858	62.9963	263.7529
14	1.00002	4.1869	14.0660	58.8916	64	.99988	4.1863	63.9962	267.9390
15	.99976	4.1858	15.0659	63.0779	65	1.00000	4.1868	64.9961	272.1256
16	.99955	4.1849	16.0655	67.2632	66	1.00014	4.1874	65.9962	276.3127
17	.99933	4.1840	17.0650	71.4476	67	1.00026	4.1879	66.9964	280.5003
18	.99914	4.1832	18.0642	75.6312	68	1.00041	4.1885	67.9967	284.6885
19	.99897	4.1825	19.0633	79.8141	69	1.00053	4.1890	68.9972	288.3772
20	.99883	4.1819	20.0622	83.9963	70	1.00067	4.1896	69.9977	293.0665
21	.99869	4.1813	21.0609	88.1778	71	1.00081	4.1902	70.9985	297.2564
22	.99857	4.1808	22.0596	92.3589	72	1.00096	4.1908	71.9994	301.4469
23	.99847	4.1804	23.0581	96.5395	73	1.00112	4.1915	73.0004	305.6381
24	.99838	4.1800	24.0565	100.7196	74	1.00127	4.1921	74.0016	309.8299
25	.99828	4.1796	25.0548	104.8994	75	1.00143	4.1928	75.0030	314.0224
26	.99821	4.1793	26.0530	109.0788	76	1.00160	4.1935	76.0045	318.2155
27	.99814	4.1790	27.0512	113.2580	77	1.00177	4.1942	77.0062	322.4094
28	.99809	4.1788	28.0493	117.4389	78	1.00194	4.1949	78.0080	326.6039
29	.99804	4.1786	29.0474	121.6157	79	1.00213	4.1957	79.0101	330.7992
30	.99802	4.1785	30.0455	125.7943	80	1.00229	4.1964	80.0123	334.9952
31	.99799	4.1784	31.0435	129.9727	81	1.00248	4.1972	81.0147	339.1920
32	.99797	4.1783	32.0414	134.1510	82	1.00268	4.1980	82.0172	343.3897
33	.99797	4.1783	33.0394	138.3293	83	1.00287	4.1988	83.0200	347.5881
34	.99795	4.1782	34.0374	142.5076	84	1.00308	4.1997	84.0230	351.7873
35	.99795	4.1782	35.0353	146.6858	85	1.00327	4.2005	85.0262	355.9874
36	.99797	4.1783	36.0333	150.8641	86	1.00349	4.2014	86.0295	360.1883
37	.99797	4.1783	37.0312	155.0423	87	1.00370	4.2023	87.0331	364.3902
38	.99799	4.1784	38.0292	159.2207	88	1.00392	4.2032	88.0369	368.5929
39	.99802	4.1785	39.0272	163.3991	89	1.00416	4.2042	89.0410	372.7966
40	.99804	4.1786	40.0253	167.5777	90	1.00437	4.2051	90.0452	377.0012
41	.99807	4.1787	41.0233	171.7563	91	1.00461	4.2061	91.0497	381.2068
42	.99811	4.1789	42.0214	175.9351	92	1.00485	4.2071	92.0545	385.4135
43	.99816	4.1791	43.0195	180.1141	93	1.00509	4.2081	93.0594	389.6211
44	.99819	4.1792	44.0177	184.2933	94	1.00535	4.2092	94.0647	393.8297
45	.99826	4.1795	45.0159	188.4726	95	1.00561	4.2103	95.0701	398.0395
46	.99830	4.1797	46.0142	192.6522	96	1.00588	4.2114	96.0759	402.2503
47	.99835	4.1799	47.0125	196.8320	97	1.00614	4.2125	97.0819	406.4622
48	.99842	4.1802	48.0109	201.0120	98	1.00640	4.2136	98.0882	410.6753
49	.99847	4.1804	49.0094	205.1923	99	1.00669	4.2148	99.0947	414.8895
					100	1.00697	4.2160	100.1015	419.1049

ตาราง ค. 3 ความนำความร้อนของน้ำที่อุณหภูมิต่าง ๆ

THERMAL CONDUCTIVITY OF CERTAIN LIQUIDS

From NSRDS-NBS 8
R. W. Powell, C. Y. Ho, and P. E. Lilley

The thermal conductivity, k , is given in the units Milliwatt $\text{cm}^{-1} \text{K}^{-1}$. To convert to $\text{Cal(gm hr}^{-1} \text{cm}^{-1} \text{K}^{-1}$ multiply the values listed in the table by 0.860421

T (K)	Helium	Nitrogen	Argon	Carbon tetrachloride	Diphenyl	m-Terphenyl	Toluene	Water
2.4	0.192							
2.6	0.193							
2.8	0.197							
3.0	0.204							
3.2	0.214							
3.4	0.227							
3.6	0.241							
3.8	0.260							
4.0	0.282							
4.2	0.307							
4.4	(0.335)†							
4.6	(0.366)†							
4.8	(0.400)†							
5.0	(0.437)†							
5.2	(0.477)†							
60		1.692†						
65		1.598						
70		1.504						
75		1.411						
80		1.320†	1.315†					
85		1.229†	1.258					
90		1.140†	1.200†					
95		1.051†	1.141†					
100		0.965†	1.082†					
105		0.879†	1.023†					
110		0.794†	0.963†					
115		0.710†	0.903†					
120		0.627†	0.842†					
125		0.544†	0.780†					
130			0.717†					
135			0.654†					
140			0.591†					
145			0.527†					
150			0.463†					
160							(1.710)†	5.09
170							(1.694)†	5.30†
180							(1.669)†	5.37†
190							1.644	5.71
200							1.619	5.80
210								
220								
230								
240								
250				1.131			1.664	5.22†
260				1.112			1.669	5.30†
270				1.093			1.643	5.37†
280				1.074			1.618	5.48
290				1.056			1.592	5.92
300				1.036				
310				1.017				
320				0.997				
330				0.978				
340				0.959	(1.402)†	(1.387)†		
350				0.940	1.373	(1.361)†	1.213	6.68
360				(0.921)	1.359	(1.356)†	1.188	6.75
370				(0.902)	1.345	1.351	1.162	6.80
380				(0.882)	1.331	1.346	1.137	6.84†
390				(0.863)	1.316	1.341	(1.112)†	6.86†
400				(0.844)	1.302	1.335	(1.086)†	6.86†
410				(0.825)	1.288	1.329	(1.061)†	6.86†
420				(0.806)	1.274	1.323	(1.036)†	6.84†
430				(0.787)	1.259	1.317	(1.013)†	6.81†
440				(0.768)	1.246	1.310	(0.985)†	6.78†
450				(0.749)	1.231	1.304	(0.959)†	6.73†
460					1.217	1.297	(0.933)†	6.67†
470					1.202	1.290	(0.908)†	6.61†
480					1.188	1.283	(0.885)†	6.53†
490					1.174	1.276	(0.862)†	6.45†
500					1.160	1.268	(0.839)†	6.35†
510					1.146	1.261		6.24†
520					1.131	1.254		6.12†
530					1.117†	1.246		5.90†
540					1.103†	1.238		6.86†
550					1.089†	1.230		5.71†
560					1.074†	1.222		5.55†
570					1.060†	1.213		5.39†
580					1.046†	1.205		5.20†
590					1.032†	1.197		5.01†
600					1.018†	1.188		4.81†
610						1.180		4.60†
620						1.172		4.40†
630						1.163		(4.20)†
640						1.155†		(4.01)†
650						1.146†		

† Extrapolated for the supercooled liquid; [Approximate n.b.p. in K: N₂, 63; A, 84; CCl₄, 250; C₁₂H₁₀, 342; m-C₁₀H₈, 361; p-C₁₀H₈, 486; CrH₁₀, 178; H₂O, 273.1].

‡ Under saturation vapor pressure [Approximate n.b.p. in K: He, 4.3; N₂, 77; A, 88; CCl₄, 360; C₁₂H₁₀, 528; m-C₁₀H₈, 537; p-C₁₀H₈, 568; CrH₁₀, 384; H₂O, 373].

ตาราง C.4 ความหนืดของน้ำที่อุณหภูมิต่าง ๆ

THE VISCOSITY OF WATER 0°C TO 100°C

Contribution from the National Bureau of Standards; not subject to copyright.

°C	η (cp)	°C	η (cp)	°C	η (cp)	°C	η (cp)
0	1.787	26	0.8705	52	0.5290	78	0.3638
1	1.728	27	.8513	53	.5204	79	0.3592
2	1.671	28	.8327	54	.5121	80	0.3547
3	1.618	29	.8148	55	.5040	81	0.3503
4	1.567	30	.7975	56	.4961	82	0.3460
5	1.519	31	.7808	57	.4884	83	0.3418
6	1.472	32	.7647	58	.4809	84	0.3377
7	1.428	33	.7491	59	.4736	85	0.3337
8	1.386	34	.7340	60	.4665	86	0.3297
9	1.346	35	.7194	61	.4596	87	0.3259
10	1.307	36	.7052	62	.4528	88	0.3221
11	1.271	37	.6915	63	.4462	89	0.3184
12	1.235	38	.6783	64	.4398	90	0.3147
13	1.202	39	.6654	65	.4335	91	0.3111
14	1.169	40	.6529	66	.4273	92	0.3076
15	1.139	41	.6408	67	.4213	93	0.3042
16	1.109	42	.6291	68	.4155	94	0.3008
17	1.081	43	.6178	69	.4098	95	0.2975
18	1.053	44	.6067	70	.4042	96	0.2942
19	1.027	45	.5960	71	.3987	97	0.2911
20	1.002	46	.5856	72	.3934	98	0.2879
21	0.9779	47	.5755	73	.3882	99	0.2848
22	.9548	48	.5656	74	.3831	100	0.2818
23	.9325	49	.5561	75	.3781		
24	.9111	50	.5468	76	.3732		
25	.8904	51	.5378	77	.3684		

The above table was calculated from the following empirical relationships derived from measurements in viscometers calibrated with water at 20°C (and one atmosphere), modified to agree with the currently accepted value for the viscosity at 20° of 1.002 cp:

$$0^\circ \text{ to } 20^\circ \text{C: } \log_e \frac{\eta}{\eta_{20}} = \frac{998.333 + 3.1855(T-20)}{T-20} - 3.30223$$

(R. C. Hardy and R. L. Cottingham, J. Res. NBS 42, 573 (1949).)

$$20^\circ \text{ to } 100^\circ \text{C: } \log_e \frac{\eta}{\eta_{20}} = \frac{1.3272(20-T) - 0.001053(T-20)^2}{T+105}$$

(J. F. Swindells, NBS, unpublished results.)

ตาราง C.5 คุณสมบัติของน้ำที่อุณหภูมิต่าง ๆ

WATER

Temp. °C	Latent Heat Liquid Density Vapour Density Liquid Thermal Conductivity Vapour Viscosity Vapour Press. Specific Surface Heat Tension									
	kJ/kg	kg/m³	kg/m³	W/m°C	cP	cP x 10²	Bar	kJ/kg°C	N/m x 10²	
20	2448	998.2	0.01	0.612	1.00	0.96	0.02	1.35	7.40	
40	2402	992.3	0.05	0.530	0.55	1.04	0.07	1.86	6.96	
60	2359	983.0	0.14	0.549	0.47	1.12	0.20	1.87	6.62	
80	2309	972.0	0.29	0.568	0.36	1.19	0.47	1.88	6.26	
100	2258	958.0	0.60	0.580	0.28	1.27	1.01	1.88	5.89	
120	2200	945.0	1.12	0.682	0.23	1.34	2.02	1.89	5.50	
140	2139	928.0	1.99	0.683	0.20	1.41	3.90	1.90	5.06	
160	2074	909.0	3.27	0.679	0.17	1.49	6.44	1.91	4.66	
180	2003	889.0	5.16	0.669	0.15	1.57	10.04	1.92	4.29	
200	1967	865.0	7.87	0.659	0.14	1.65	16.19	1.93	3.89	

ตาราง ค.๖ คุณสมบัติของไอน้ำที่อุณหภูมิต่าง ๆ

Properties of Saturated Steam (H_2O) at a Given Temperature (in International System of Units-SI)

Temperature		Pressure	Specific volume		Density		Specific enthalpy		Heat of vaporization	Specific entropy	
			Liquid	Vapor	Liquid	Vapor	Liquid	Vapor		Liquid	Vapor
t	T	p	v'	v''	p'	p''	i'	i''	r = i'' - i'	s'	s''
°C	K	bar	m³/kg	m³/kg	kg/m³	kg/m³	kJ/kg	kJ/kg	kJ/kg	kJ/kg K	kJ/kg K
0.01	273.16	0.006106	0.0010002	206.3	999.80	0.004847	0.00	2501	2501	0.0000	9.1544
1	274.15	0.006566	0.0010001	192.6	999.90	0.005192	4.22	2502	2498	0.0154	9.1281
2	275.15	0.007054	0.0010001	179.9	999.90	0.005559	8.42	2504	2496	0.0306	9.1018
3	276.15	0.007575	0.0010001	168.2	999.90	0.005945	12.63	2506	2493	0.0458	9.0757
4	277.15	0.008129	0.0010001	157.3	999.90	0.006357	16.84	2508	2491	0.0610	9.0498
5	278.15	0.008719	0.0010001	147.2	999.90	0.006793	21.05	2510	2489	0.0762	9.0241
6	279.15	0.009347	0.0010001	137.8	999.90	0.007257	25.25	2512	2489	0.0913	8.9978
7	280.15	0.010013	0.0010001	129.1	999.90	0.007746	29.45	2514	2485	0.1063	8.9736
8	281.15	0.010721	0.0010002	121.0	999.80	0.008264	33.55	2516	2482	0.1212	8.9485
9	282.15	0.011473	0.0010003	113.4	999.70	0.008818	37.85	2517	2479	0.1361	8.9238
10	283.15	0.012277	0.0010004	106.42	999.60	0.009398	42.04	2519	2477	0.1510	8.8994
11	284.15	0.013118	0.0010005	99.91	999.50	0.01001	46.22	2521	2475	0.1658	8.8752
12	285.15	0.014016	0.0010006	93.84	999.40	0.01066	50.41	2523	2473	0.1805	8.8513
13	286.15	0.014967	0.0010007	88.18	999.30	0.01134	54.60	2525	2470	0.1952	8.8276
14	287.15	0.015974	0.0010008	82.90	999.20	0.01206	58.78	2527	2468	0.2098	8.8040
15	288.15	0.017041	0.0010010	77.97	999.00	0.01282	62.97	2528	2465	0.2244	8.7806
16	289.15	0.018170	0.0010011	73.39	998.90	0.01363	67.16	2530	2463	0.2389	8.7574
17	290.14	0.019364	0.0010013	69.10	998.70	0.01447	71.34	2532	2461	0.2534	8.7344
18	291.15	0.02062	0.0010015	65.09	998.50	0.01536	75.53	2534	2458	0.2678	8.7116
19	292.15	0.02196	0.0010016	61.34	998.40	0.01630	79.72	2536	2456	0.2821	8.6890
20	293.15	0.02337	0.0010018	57.84	998.20	0.01729	83.90	2537	2454	0.2964	8.6665
21	294.15	0.02486	0.0010021	54.56	997.90	0.01833	88.09	2539	2451	0.3107	8.6442
22	295.15	0.02643	0.0010023	51.50	997.71	0.01942	92.27	2541	2449	0.3249	8.6220
23	296.15	0.02808	0.0010025	48.62	997.51	0.02057	96.46	2543	2447	0.3391	8.6001
24	297.15	0.02982	0.0010028	45.93	997.21	0.02177	100.63	2545	2444	0.3532	8.5785
25	298.15	0.03166	0.0010030	43.40	997.01	0.02304	104.81	2547	2442	0.3672	8.5570
26	299.15	0.03360	0.0010033	41.04	996.71	0.02437	108.99	2548	2440	0.3812	8.5358
27	300.15	0.03564	0.0010036	38.82	996.41	0.02576	113.17	2550	2437	0.3951	8.5147
28	301.15	0.03779	0.0010038	36.73	996.21	0.02723	117.35	2552	2435	0.4090	8.4938
29	302.15	0.04004	0.0010041	34.77	995.92	0.02876	121.53	2554	2432	0.4228	8.4730
30	303.15	0.04241	0.0010044	32.93	995.62	0.03037	125.71	2556	2430	0.4366	8.4523
31	304.15	0.04491	0.0010047	31.20	995.32	0.03205	129.89	2558	2428	0.4503	8.4319
32	305.15	0.04753	0.0010051	29.57	994.93	0.03382	134.07	2559	2425	0.4640	8.4117
33	306.15	0.05029	0.0010054	28.04	994.63	0.03566	138.25	2561	2423	0.4777	8.3916
34	307.15	0.05318	0.0010057	26.60	994.33	0.03759	142.42	2563	2421	0.4913	8.3716
35	308.15	0.05622	0.0010061	25.24	993.94	0.03962	146.60	2565	2418	0.5049	8.3519
36	309.15	0.05940	0.0010064	23.97	993.64	0.04172	150.78	2567	2416	0.5185	8.3323
37	310.15	0.06274	0.0010068	22.77	993.25	0.04392	154.96	2569	2414	0.5320	8.3129
38	311.15	0.06624	0.0010071	21.63	992.95	0.04623	159.14	2570	2411	0.5455	8.2938
39	312.15	0.06991	0.0010075	20.56	992.56	0.04864	163.32	2572	2409	0.5589	8.2748
40	313.15	0.07375	0.0010079	19.55	992.16	0.05115	167.50	2574	2406	0.5723	8.2559
41	314.15	0.07777	0.0010083	18.59	991.77	0.05379	171.67	2575	2403	0.5856	8.2372
42	315.15	0.08198	0.0010087	17.69	991.38	0.05653	175.86	2577	2401	0.5988	8.2187
43	316.15	0.08639	0.0010091	16.84	990.98	0.05938	180.04	2579	2399	0.6120	8.2003
44	317.15	0.09101	0.0010095	16.04	990.59	0.06234	184.22	2581	2397	0.6252	8.1820
45	318.15	0.09584	0.0010099	15.28	990.20	0.06544	188.40	2582	2394	0.6384	8.1638
46	319.15	0.10088	0.0010103	14.56	989.81	0.06868	192.58	2584	2391	0.6516	8.1458
47	320.15	0.10614	0.0010108	13.88	989.32	0.07205	196.76	2586	2389	0.6647	8.1279
48	321.15	0.11163	0.0010112	13.23	988.92	0.07559	200.93	2588	2387	0.6778	8.1102
49	322.15	0.11736	0.0010116	12.62	988.53	0.07924	205.11	2590	2385	0.6908	8.0927
50	323.15	0.12335	0.0010121	12.04	988.04	0.08306	209.3	2592	2383	0.7038	8.0753
51	324.15	0.12960	0.0010126	11.50	987.56	0.08696	213.5	2593	2380	0.7167	8.0579
52	325.15	0.13612	0.0010130	10.98	987.17	0.09107	217.7	2595	2377	0.7295	8.0407
53	326.15	0.14292	0.0010135	10.49	986.68	0.09533	221.9	2597	2375	0.7423	8.0236
54	327.15	0.15061	0.0010140	10.02	986.19	0.09980	226.0	2599	2373	0.7551	8.0068

Properties of Saturated Steam (H_2O) at a Given Temperature (in International System of Units—SI) (Continued)

Temperature		Pressure	Specific volume		Density		Specific enthalpy		Heat of vaporization	Specific entropy	
			Liquid	Vapor	Liquid	Vapor	Liquid	Vapor		Liquid	Vapor
t	T	p	v'	v''	p'	p''	i'	i''	r = i'' - i'	s'	s''
°C	K	bar	m³/kg	m³/kg	kg/m³	kg/m³	kJ/kg	kJ/kg	kJ/kg	kJ/kg K	kJ/kg K
55	328.15	0.15740	0.0010145	9.578	985.71	0.1044	230.2	2600	2370	0.7679	7.9901
56	329.15	0.16510	0.0010150	9.158	985.22	0.1092	234.4	2602	2368	0.7806	7.9736
57	330.15	0.17312	0.0010155	8.757	984.74	0.1142	238.6	2604	2365	0.7933	7.9571
58	331.15	0.18146	0.0010160	8.380	984.25	0.1193	242.8	2606	2363	0.8059	7.9407
59	332.15	0.19014	0.0010166	8.020	983.67	0.1247	246.9	2608	2361	0.8185	7.9245
60	333.15	0.19917	0.0010171	7.678	983.19	0.1302	251.1	2609	2358	0.8311	7.9084
61	334.15	0.2086	0.0010177	7.353	982.61	0.1360	255.3	2611	2355	0.8436	7.8925
62	335.15	0.2184	0.0010182	7.043	982.13	0.1420	259.5	2613	2353	0.8561	7.8767
63	336.15	0.2285	0.0010188	6.749	981.55	0.1482	263.7	2614	2350	0.8686	7.8609
64	337.15	0.2391	0.0010193	6.468	981.07	0.1546	267.9	2616	2348	0.8810	7.8452
65	338.15	0.2501	0.0010199	6.201	980.49	0.1613	272.1	2617	2345	0.8934	7.8297
66	339.15	0.2615	0.0010205	5.947	979.91	0.1681	276.2	2619	2343	0.9057	7.8144
67	340.15	0.2733	0.0010210	5.705	979.43	0.1753	280.4	2621	2341	0.9180	7.7992
68	341.15	0.2856	0.0010216	5.475	978.86	0.1826	284.6	2623	2338	0.9303	7.7841
69	342.15	0.2984	0.0010222	5.255	978.28	0.1903	288.8	2625	2336	0.9426	7.7692
70	343.15	0.3117	0.0010228	5.045	977.71	0.1982	293.0	2626	2333	0.9549	7.7544
71	344.15	0.3254	0.0010234	4.846	977.14	0.2064	297.2	2628	2331	0.9672	7.7396
72	345.15	0.3396	0.0010240	4.655	976.56	0.2148	301.4	2630	2329	0.9794	7.7249
73	346.15	0.3543	0.0010246	4.473	975.99	0.2236	305.6	2631	2326	0.9916	7.7103
74	347.15	0.3696	0.0010252	4.299	975.42	0.2326	309.8	2633	2323	1.0037	7.6958
75	348.15	0.3855	0.0010258	4.133	974.85	0.2420	314.0	2635	2321	1.0157	7.6815
76	349.15	0.4019	0.0010264	3.975	974.28	0.2516	318.2	2636	2318	1.0277	7.6673
77	350.15	0.4189	0.0010270	3.824	973.71	0.2615	322.4	2638	2316	1.0396	7.6533
78	351.15	0.4365	0.0010277	3.679	973.05	0.2718	326.4	2639	2313	1.0515	7.6393
79	352.15	0.4547	0.0010283	3.540	972.48	0.2825	330.6	2641	2310	1.0634	7.6254
80	353.15	0.4736	0.0010290	3.408	971.82	0.2934	334.9	2643	2308	1.0753	7.6116
81	354.15	0.4931	0.0010297	3.282	971.16	0.3047	339.1	2645	2306	1.0872	7.5979
82	355.15	0.5133	0.0010304	3.161	970.50	0.3164	343.3	2646	2303	1.0990	7.5843
83	356.15	0.5342	0.0010310	3.045	969.93	0.3284	347.5	2648	2300	1.1107	7.5707
84	357.15	0.5558	0.0010317	2.934	969.27	0.3408	351.7	2650	2298	1.1225	7.5572
85	358.15	0.5781	0.0010324	2.828	968.62	0.3536	355.9	2651	2295	1.1342	7.5438
86	359.15	0.6011	0.0010331	2.727	967.96	0.3667	360.1	2653	2293	1.1459	7.5305
87	360.15	0.6249	0.0010338	2.629	967.31	0.3804	364.3	2655	2291	1.1576	7.5174
88	361.15	0.6495	0.0010345	2.536	966.65	0.3943	368.5	2656	2288	1.1693	7.5044
89	362.15	0.6749	0.0010352	2.447	966.00	0.4087	372.7	2658	2285	1.1809	7.4915
90	363.15	0.7011	0.0010359	2.361	965.34	0.4235	377.0	2659	2282	1.1925	7.4787
91	364.15	0.7281	0.0010366	2.279	964.69	0.4388	381.2	2661	2280	1.2041	7.4660
92	365.15	0.7560	0.0010373	2.200	964.04	0.4545	385.4	2662	2277	1.2157	7.4533
93	366.15	0.7848	0.0010381	2.124	963.30	0.4708	389.6	2664	2274	1.2272	7.4407
94	367.15	0.8145	0.0010388	2.052	962.65	0.4873	393.8	2666	2272	1.2387	7.4281
95	368.15	0.8451	0.0010396	1.982	961.91	0.5045	398.0	2668	2270	1.2502	7.4155
96	369.15	0.8767	0.0010404	1.915	961.17	0.5222	402.2	2669	2267	1.2617	7.4030
97	370.15	0.9093	0.0010412	1.851	960.43	0.5402	406.4	2671	2265	1.2731	7.3907
98	371.15	0.9429	0.0010420	1.789	959.69	0.5590	410.7	2673	2262	1.2845	7.3786
99	372.15	0.9775	0.0010427	1.730	959.05	0.5780	414.9	2674	2259	1.2958	7.3666
100	373.15	1.0131	0.0010435	1.673	958.31	0.5977	419.1	2676	2257	1.3071	7.3547
101	374.15	1.0498	0.0010443	1.618	957.58	0.6181	423.3	2677	2254	1.3184	7.3429
102	375.15	1.0876	0.0010450	1.566	956.94	0.6386	427.5	2679	2251	1.3297	7.3311
103	376.15	1.1265	0.0010458	1.515	956.21	0.6601	431.7	2680	2248	1.3409	7.3193
104	377.15	1.1666	0.0010466	1.466	955.47	0.6821	436.0	2681	2245	1.3521	7.3076
105	378.15	1.2079	0.0010474	1.419	954.75	0.7047	440.2	2683	2243	1.3632	7.2959
106	379.15	1.2504	0.0010482	1.374	954.02	0.7278	444.4	2685	2241	1.3743	7.2843
107	380.15	1.2941	0.0010490	1.331	953.29	0.7513	448.6	2687	2238	1.3854	7.2728
108	381.15	1.3390	0.0010498	1.289	952.56	0.7758	452.9	2688	2235	1.3964	7.2614
109	382.15	1.3852	0.0010507	1.249	951.75	0.8006	457.1	2689	2232	1.4074	7.2500

Properties of Saturated Steam (H_2O) at a Given Temperature (in International System of Units—SI) (Continued)

Temperature		Pressure	Specific volume		Density		Specific enthalpy		Heat of vaporization	Specific entropy	
			Liquid	Vapor	Liquid	Vapor	Liquid	Vapor		Liquid	Vapor
t °C	T K	p bar	v' m³/kg	v'' m³/kg	ρ' kg/m³	ρ'' kg/m³	i' kJ/kg	i'' kJ/kg	r = i'' - i'	s' kJ/kg K	s'' kJ/kg K
110	383.15	1.4326	0.0010515	1.210	951.02	0.8264	461.3	2691	2230	1.4184	7.2387
111	384.15	1.4814	0.0010523	1.173	950.30	0.8525	465.6	2693	2272	1.4294	7.2274
112	385.15	1.5316	0.0010532	1.137	949.49	0.8795	469.8	2694	2224	1.4404	7.2162
113	386.15	1.5831	0.0010540	1.102	948.77	0.9074	474.0	2696	2222	1.4514	7.2051
114	387.15	1.6361	0.0010549	1.069	947.96	0.9354	478.2	2697	2219	1.4624	7.1941
115	388.15	1.6905	0.0010559	1.036	947.15	0.9652	482.5	2698	2216	1.4733	7.1832
116	389.15	1.7464	0.0010567	1.005	946.34	0.9950	486.7	2700	2213	1.4842	7.1724
117	390.15	1.8038	0.0010576	0.9754	945.54	1.025	491.0	2702	2211	1.4951	7.1616
118	391.15	1.8628	0.0010585	0.9465	944.73	1.056	495.2	2703	2208	1.5060	7.1509
119	392.15	1.9233	0.0010594	0.9186	943.93	1.089	499.5	2705	2205	1.5169	7.1403
120	393.15	1.9854	0.0010603	0.8917	943.13	1.121	503.7	2706	2202	1.5277	7.1298
121	394.15	2.0491	0.0010612	0.8657	942.33	1.155	507.9	2708	2200	1.5385	7.1193
122	395.15	2.1144	0.0010621	0.8407	941.53	1.189	512.2	2709	2197	1.5492	7.1089
123	396.15	2.1814	0.0010630	0.8164	940.73	1.225	516.5	2710	2194	1.5599	7.0985
124	397.15	2.2502	0.0010640	0.7930	939.85	1.261	520.8	2712	2191	1.5706	7.0881
125	398.15	2.3208	0.0010649	0.7704	939.06	1.298	525.0	2713	2188	1.5814	7.0777
126	399.15	2.3932	0.0010658	0.7486	938.26	1.336	529.2	2715	2186	1.5922	7.0674
127	400.15	2.4674	0.0010668	0.7276	937.38	1.374	533.4	2716	2183	1.6029	7.0573
128	401.15	2.5434	0.0010677	0.7074	936.59	1.414	537.7	2718	2180	1.6135	7.0472
129	402.15	2.6213	0.0010687	0.6880	935.72	1.454	542.0	2719	2177	1.6240	7.0372
130	403.15	2.7011	0.0010697	0.6683	934.84	1.496	546.3	2721	2174	1.6354	7.0272
131	404.15	2.7829	0.0010707	0.6499	933.97	1.539	550.5	2722	2171	1.6450	7.0173
132	504.15	2.8668	0.0010717	0.6321	933.10	1.582	554.8	2723	2168	1.6555	7.0074
133	406.15	2.9528	0.0010727	0.6148	932.23	1.626	559.0	2724	2165	1.6659	6.9976
134	407.15	3.041	0.0010737	0.5981	931.36	1.672	563.2	2725	2162	1.6764	6.9878
135	408.15	3.130	0.0010747	0.5820	930.49	1.718	567.5	2727	2159	1.6869	6.9781
136	409.15	3.222	0.0010757	0.5664	929.63	1.765	571.8	2728	2156	1.6973	6.9685
137	410.15	3.317	0.0010767	0.5512	928.76	1.814	576.1	2730	2154	1.7078	6.9589
138	411.15	3.414	0.0010777	0.5366	927.90	1.864	580.4	2731	2151	1.7183	6.9493
139	412.15	3.513	0.0010788	0.5224	926.96	1.914	584.7	2733	2148	1.7278	6.9398
140	413.15	3.614	0.0010798	0.5087	926.10	1.966	589.0	2734	2145	1.7392	6.9304
141	414.15	3.717	0.0010808	0.4953	925.24	2.019	593.3	2735	2142	1.7496	6.9211
142	415.15	3.823	0.0010819	0.4824	924.30	2.073	597.6	2737	2139	1.7599	6.9117
143	416.15	3.931	0.0010829	0.4699	923.45	2.128	601.9	2738	2136	1.7702	6.9024
144	417.15	4.042	0.0010840	0.4579	922.51	2.184	606.2	2739	2133	1.7804	6.8932
145	418.15	4.155	0.0010851	0.4461	921.57	2.242	610.5	2740	2130	1.7907	6.8839
146	419.15	4.271	0.0010862	0.4347	920.64	2.300	614.8	2742	2127	1.8009	6.8747
147	420.15	4.389	0.0010873	0.4237	919.71	2.360	619.1	2743	2124	1.8112	6.8655
148	421.15	4.510	0.0010884	0.4130	918.78	2.421	623.4	2744	2121	1.8214	6.8564
149	422.15	4.634	0.0010895	0.4026	917.85	2.484	627.8	2745	2117	1.8316	6.8473
150	423.15	4.760	0.0010906	0.3926	916.93	2.547	632.2	2746	2114	1.8418	6.8383
151	424.15	4.889	0.0010917	0.3828	916.00	2.612	636.6	2748	2111	1.8520	6.8293
152	425.15	5.020	0.0010928	0.3733	915.08	2.679	641.0	2749	2108	1.8622	6.8204
153	426.15	5.155	0.0010939	0.3641	914.16	2.746	645.3	2750	2105	1.8723	6.8115
154	427.15	5.293	0.0010950	0.3552	913.24	2.815	649.6	2752	2102	1.8824	6.8027
155	428.15	5.433	0.0010962	0.3466	912.24	2.885	653.9	2753	2099	1.8924	6.7940
156	429.15	5.576	0.0010974	0.3381	911.24	2.958	658.2	2754	2096	1.9025	6.7854
157	430.15	5.723	0.0010986	0.3299	910.25	3.030	662.5	2755	2092	1.9125	6.7768
158	431.15	5.872	0.0010998	0.3220	909.26	3.106	666.9	2756	2089	1.9226	6.7681
159	432.15	6.024	0.0011009	0.3143	908.35	3.182	671.2	2757	2086	1.9326	6.7595
160	433.15	6.180	0.0011021	0.3068	907.36	3.258	675.6	2758	2082	1.9427	6.7508
161	434.15	6.339	0.0011033	0.2996	906.37	3.338	679.9	2759	2079	1.9527	6.7421
162	435.15	6.502	0.0011044	0.2925	905.47	3.419	684.2	2760	2076	1.9627	6.7335
163	436.15	6.667	0.0011056	0.2856	904.49	3.500	688.6	2761	2072	1.9726	6.7250
164	437.15	6.836	0.0011069	0.2790	903.42	3.584	692.9	2762	2069	1.9825	6.7165

ตาราง A.7 คุณสมบัติทางกายภาพของแก้ว Pyrex

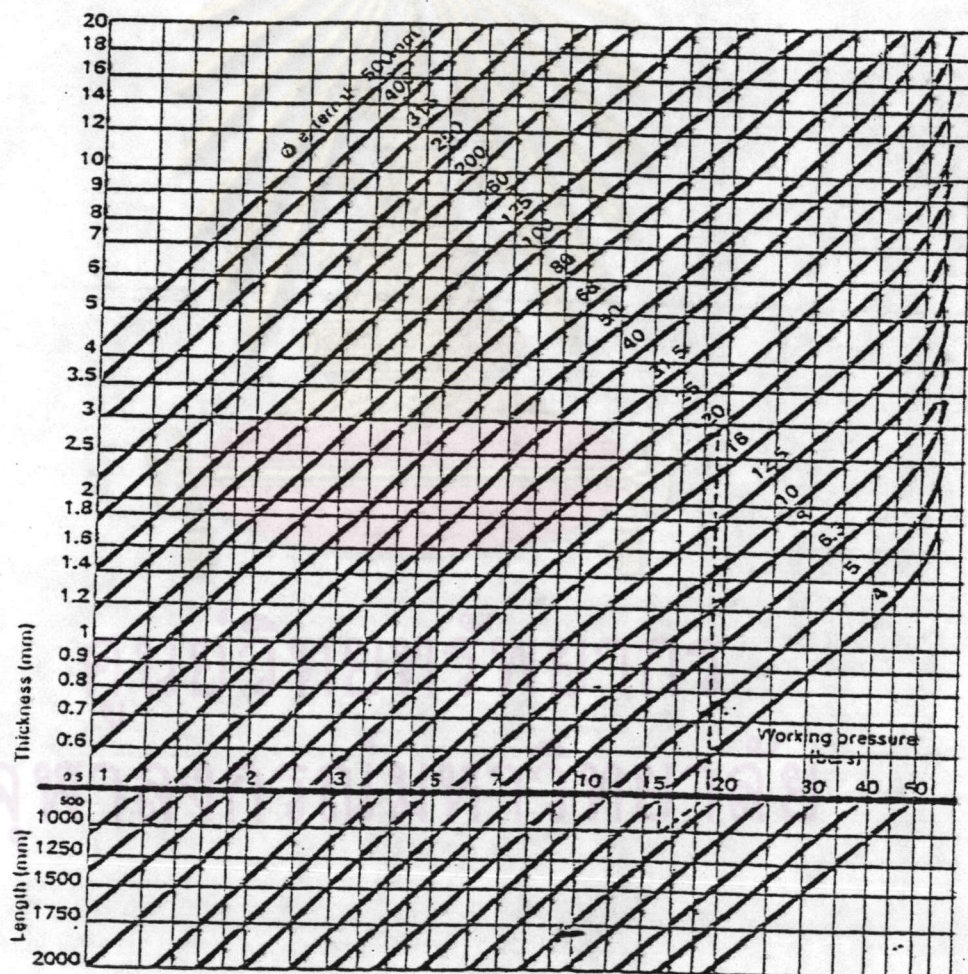
Physical Properties

Coefficient of Expansion	$33 \times 10^{-7}/^{\circ}\text{C}$ between $20^{\circ}\text{C}-300^{\circ}\text{C}$
Specific Heat	750 J/kg·°C at 20°C
Thermal Conductivity	1.13 W/m·K at 20°C
Density	$2.23 \times 10^3 \text{ kg/m}^3$
Poisson's Ratio	0.22 between $25^{\circ}\text{C}-400^{\circ}\text{C}$
Young's Modulus	6,500 kg/mm ² at 25°C
Rigidity Modulus	2,660 kg/mm ² at 25°C
DPH (Vickers) Hardness	580 kg/mm ² with 50 gram load
Knoop Hardness	550 kg/mm ² with 50 gram load
Relative Hardness	1.52 (comparative Soda-Lime=1)
Refractive Index	1.474 Sodium D-Line
Dielectric Constant	4.6 at 1 MHz and 20°C
Power Factor	0.50% at 1 MHz and 20°C
Loss Factor	2.6% at 1 MHz and 20°C
Log ₁₀ Volume Resistivity	15 ohm-cms at 20°C
Surface Resistivity	10^{13} ohms per square cm at 50% humidity

Thermal Conductivity

at 20°C 1.13 W/m·K
 at 150°C 1.25 W/m·K
 at 300°C 1.42 W/m·K

Safe working pressures



Pyrex tubing

Recommended safe working pressures, in relation to the external diameter wall thickness and the total length of the tube.

$$(1 \text{ kg/cm}^2 = 0.98 \text{ bar or hpa})$$

Example: a 20 mm diameter tubing, with a 3 mm wall thickness
 for L = 500 mm Ps = 19.5
 for L = 1000 mm Ps = 19.5

(The testing pressure is considered to be twice that of the safe working pressure.)

ภาคผนวก ๓.

โปรแกรมคอมพิวเตอร์

1. โปรแกรมคอมพิวเตอร์ การหาสมการถดถอยเชิงเส้น

```
10 REM Program least square fit (log-log)
20 INPUT "Number of data";N
30 DIM X(N),Y(N)
40 FOR I=1 TO N
50 INPUT "X(i) = ";X(I)
60 INPUT "Y(i) = ";Y(I)
70 X1=X1+LOG(X(I))
80 X2=X2+(LOG(X(I)))^2
90 X3=X3+LOG(X(I))*LOG(Y(I))
100 Y1=Y1+LOG(Y(I))
110 NEXT I
120 FOR I =1 TO N
130 X4=X4+(X(I)-X1/N)*(Y(I)-Y1/N)
140 X5=X5+(X(I)-X1/N)^2
150 Y2=Y2+(Y(I)-Y1/N)^2
160 NEXT I
170 R=X4/(X5*Y2)^.5
180 B=(X3-X1*Y1/N)/(X2-X1^2/N)
190 A=EXP((Y1-B*X1)/N)
200 PRINT TAB(10); "Y = A*X^B"
210 LPRINT TAB(10); "Y = A*X^B"
220 PRINT "A=";A,"B= ";B,"R(XY) = ";R
230 LPRINT "A=";A,"B= ";B,"R(XY) = ";R
240 END
```

ศูนย์วิทยบรังษยการ
จุฬาลงกรณ์มหาวิทยาลัย

2. ໂປຣແກຣມຄອມພິວເຕອີ່ງ ອາຄຸມສົມບັດທິກາງກາຍວານຂອງນ້ຳທີ່ວູແຮກມືຕ່າງ ຖ້າ

```

10 REM WATER PROPERTY
20 INPUT "temperature"; T
30 REM WATER PROPERTY
40 DLQ=1000.84109#-.033900857#*T-.00495049544#*T^2+.0000104651299#*T^3
50 DVP=.00861462206#-.0000722105615#*T+.0000266703573#*T^2-.000000147758556#*T^3
+4.77265649D-09*T^4
60 VP=.0166082829#-.000734921545#*T+.0000627483241#*T^2-.000000654202949#*T^3+.0
00000109653593#*T^4
70 CP=4201.92627#-1.62180901#*T+.0363622308#*T^2-.000309996307#*T^3+.00000122821
439#*T^4
80 VIS=.00171670897#-.0000502196126#*T+.000000898907956#*T^2-9.85670568D-09*T^3+
5.97187855D-11*T^4-1.51716151D-13*T^5
90 K=.568971991#+.00170699428#*T-.000000891613161#*T^2+.0000000104898961#*T^3
100 HFG=2502612.69#-2500.41797#*T+4.46722412#*T^2-.0633306503#*T^3+.00022884458J
#*T^4
110 SUR=(75.772898#-.149544895#*T-.0000302884728#*T^2-.00000350629125#*T^3+.0000
00018903819#*T^4)/1000
120 PRINT "Liquid density =";DLQ;" Kg/m^3"
130 LPRINT "Liquid density =";DLQ;" Kg/m^3"
140 PRINT "Vapor density =";DVP;" Kg/m^3"
150 LPRINT "Vapor density =";DVP;" Kg/m^3"
160 PRINT "Vapor pressure =";VP;"bar"
170 LPRINT "Vapor pressure =";VP;"bar"
180 PRINT "Thermal conductivity of water =";K;" Watt/m-c"
190 LPRINT "Thermal conductivity of water =";K;" Watt/m-c"
200 PRINT "Heat capacity of water =";CP;" J/Kg"
210 LPRINT "Heat capacity of water =";CP;" J/Kg"
220 PRINT "Heat of vaporization =";HFG;" J/Kg"
230 LPRINT "Heat of vaporization =";HFG;" J/Kg"
240 PRINT "Viscosity of water =";VIS;" Kg/m-sec"
250 LPRINT "Viscosity of water =";VIS;" Kg/m-sec"
260 PRINT "Surface tension of water =";SUR;" N/m"
270 LPRINT "Surface tension of water =";SUR;" N/m"
280 END

```

3. โปรแกรมคอมพิวเตอร์การหาค่าคงที่ต่าง ๆ ในสมการการเตือด ของ Rohsenow

```

10 REM CALCULATION CONSTANTS OF ROHSENOW EQUATION (Csf,r)
20 INPUT "Number of data";N
30 DIM Q(N),TOH(N),TOC(N),TIH(N),TIC(N),DTO(N),DTI(N),TS(N),UA(N)
40 DIM X(N),Y(N)
50 INPUT "Thermal conductivity of heat-pipe tube";KM
60 INPUT "Evaporator length (m)";LH
70 INPUT "Condenser length (m)";LC
80 INPUT "Outer radius of tube (m)";RO
90 INPUT "Inner radius of tube (m)";RI
100 FOR J=1 TO N
110 INPUT "Heat transfer rate (Watt)";Q(J)
120 INPUT "Evaporator temperature (c)";TOH(J)
130 INPUT "Condenser temperature (c)";TOC(J)
140 TIH(J) = TOH(J)-Q(J)*LOG(RO/RI)/2/3.14159/LH/KM
150 TIC(J) = TOC(J)+Q(J)*LOG(RO/RI)/2/3.14159/LC/KM
160 DTO(J) = TOH(J)-TOC(J)
170 DTI(J) = TIH(J)-TIC(J)
180 UA(J) = Q(J)/DTO(J)
190 NEXT J
200 FOR I=1 TO N
210 TS = TIC(I)
220 TF=(TIC(I)+TS)/2
230 T=TS
240 GOSUB 810
250 HV=HFG
260 T=TF
270 GOSUB 810
280 TR=.532*(4*Q(I)/(2*3.14159*RI)*VIS/HV/DLQ^2/9.810001)^(1/3)*Q(I)/(2*3.14159*
RI*LC)/K+TIC(I)
290 IF ABS(TR-TS)<=.001 THEN 320
300 TS=TR
310 GOTO 220
320 TS(I) = TS
330 NEXT I
340 FOR I =1 TO N
350 T =TS(I)
360 GOSUB 810
370 HV=HFG:P=VP:RV=DVP
380 T=(TS(I)+TIH(I))/2
390 GOSUB 810
400 Y(I)=K/HV*(TIH(I)-TS(I))/VIS
410 X(I)=Q(I)/(2*3.14159*RI*LH)/VIS/HV*(SUR/9.810001/(DLQ-RV))^.5
420 X1=X1+LOG(X(I)))
430 X2=X2+(LOG(X(I)))^2
440 X3=X3+LOG(X(I))*LOG(Y(I))
450 Y1=Y1+LOG(Y(I))
460 NEXT I
470 FOR I =1 TO N
480 X4=X4+(X(I)-X1/N)*(Y(I)-Y1/N)
490 X5=X5+(X(I)-X1/N)^2
500 Y2=Y2+(Y(I)-Y1/N)^2
510 NEXT I
520 R=X4/(X5*Y2)^.5
530 B=(X3-X1*Y1/N)/(X2-X1^2/N)
540 A=EXP((Y1-B*X1)/N)
550 PRINT"Y=A*X^B; A=";A,"B= ";B,"R(xy)= ";R
560 LPRINT"Y=A*X^B; A=";A,"B= ";B,"R(xy)= ";R
570 LPRINT

```

```

580 PRINT TAB(2); "Q(out)"; TAB(10); "UA(exp)"; TAB(20); "UA(cal)"; TAB(30); "HiH"; TAB(40); "Hic"; TAB(58); "X"; TAB(68); "Y"
590 LPRINT TAB(2); "Q(out)"; TAB(10); "UA(exp)"; TAB(20); "UA(cal)"; TAB(30); "HiH"; TAB(40); "Hic"; TAB(58); "X"; TAB(68); "Y"
600 FOR I =1 TO N
610 T =TS(I)
620 GOSUB 810
630 HV=HFG:P=VP:RV=DVP
640 X1=X1+X(I)
650 T=(TS(I)+TIH(I))/2
660 GOSUB 810
670 HIH=Q(I)^(1-B)*CP/A/HV/CP/VIS*K/(1/VIS/HV/(2*3.14159*RI*LH)*(SUR/9.810001/(D
LQ-RV))^.5)^B/(2*3.14159*RI*LH)
680 T=(TIC(I)+TS(I))/2
690 GOSUB 810
700 HIC=1.47*K*(HV*DLQ^2*9.810001/4/Q(I)*(2*3.14159*RI)/VIS)^(1/3)
710 UAC=1/(LOG(R0/RI)/2/3.14159/KM/LH+1/(HIH*2*3.14159*RI*LH)+LOG(R0/RI)/2/3.141
59/KM/LC+1/HIC/2/3.14159/RI/LC)
720 VAR=VAR+(UAC-UA(I))^2
730 PRINT TAB(1);Q(I);TAB(9);UA(I);TAB(20);UAC;TAB(30);HIH;TAB(40);HIC;TAB(55);X
(I);TAB(65);Y(I)
740 LPRINT TAB(1);Q(I);TAB(9);UA(I);TAB(20);UAC;TAB(30);HIH;TAB(40);HIC;TAB(55);
X(I);TAB(65);Y(I)
750 NEXT I
760 PRINT "Variance of UA (SS) =";VAR
770 LPRINT
780 LPRINT "Variance of UA (SS) =";VAR
790 END
800 END
810 REM WATER PROPERTY
820 DLQ=1000.84109#-.033900857##T-.00495049544##T^2+.0000104651299##T^3
830 DVP=.00861462206#-.0000722105615##T+.0000266703573##T^2-.000000147758556##T^
3+4.77265649D-09*T^4
840 VP=.0166082829#-.000734921545##T+.0000627483241##T^2-.000000654202949##T^3+.
0000000109653593##T^4
850 CP=4201.92627#-1.62180901##T+.0363622308##T^2-.000309996307##T^3+.0000012282
1439##T^4
860 VIS=.00171670897#-.0000502196126##T+.000000898907956##T^2-9.85670568D-09*T^3
+5.97187855D-11*T^4-1.51716151D-13*T^5
870 K=.568971991#+.00190699428##T-.00000891613161##T^2+.0000000104898961##T^3
880 HFG=2502612.69#-2500.41797##T+4.46722412##T^2-.0633306503##T^3+.000228844583
##T^4
890 SUR=(75.772898#-.149544895##T-.0000302884728##T^2-.00000350629125##T^3+.0000
00018903819##T^4)/1000
900 RETURN

```

4. โปรแกรมคอมพิวเตอร์การคำนวณอุณหภูมิเครื่องแลกเปลี่ยนความร้อน

```

10 REM PROGRAM CALCULATES HEAT-PIPE HEAT EXCHANGER AREA
20 REM WATER IS WORKING FLUID OF HEAT-PIPE
30 REM water is the working fluid of heat pipe
40 INPUT "OUTER DIAMETER OF HEAT-PIPE (M)";ODP
50 INPUT "INNER DIAMETER OF HEAT-PIPE (M)";IDP
60 INPUT "EVAPORATING LENGTH (M)";LE
70 INPUT "CONDENSATION LENGTH (m)";LC
80 INPUT "HEIGHT OF WORKING FLUID IN PIPE FROM BOTTOM (M)";LW
90 INPUT "TEMPERATURE OF HOT FLUID IN (C)";THIN
100 INPUT "temperature of hot fluid out (m)";THOT
110 INPUT "MASS FLOW RATE OF HOT FLUID (kg/sec)";FH
120 INPUT "Heat capacity of hot fluid (j/Kg)";CPH
130 INPUT "Heat transfer coefficient of hot outer surface (Watt/m^2/c)";HOH
140 INPUT "Effective hot surface area (m^2)";AOH
150 INPUT "TEMPERATURE OF COOL FLUID IN (C)";TCIN
160 INPUT "temperature of cool fluid out (c)";TCOT
170 INPUT "MASS FLOW RATE OF COOL FLUID (KG/sec)";FC
180 INPUT "Heat capacity of cool fluid (j/Kg)";CPC
190 INPUT "Heat transfer coefficient of cool outer surface (Watt/m^2/c)";HOC
200 INPUT "Effective cool surface area (m^2)";AOC
210 INPUT "constant Csf =";CSF
220 INPUT "THERMAL CONDUCTIVITY OF HEAT PIPE TUBE (W/M-C)";KP
230 LMTD=((THIN-TCOT)-(THOT-TCIN))/LOG((THIN-TCOT)/(THOT-TCIN))
240 Q=FH*CPH*(THIN-THOT)
250 THOA=(THIN+THOT)/2
260 TCOA=(TCIN+TCOT)/2
270 DT=THOA-TCOA
280 UA=1/(1/HOH/AOH+LOG(ODP/IDP)/2/3.14159/KP/LE+LOG(ODP/IDP)/2/3.14159/KP/LC+1/
HOC/AOC)
290 QOUT=UA*DT
300 TIH = THOA-QOUT*LOG(ODP/IDP)/2/3.14159/KP/LE-QOUT/HOH/AOH
310 TIC = TCOA-QOUT*LOG(ODP/IDP)/2/3.14159/KP/LC-QOUT/HOC/AOC
320 TS = TIC
330 TF=(TIC+TS)/2
340 T=TS
350 GOSUB 620
360 HV=HFG
370 T=TF
380 GOSUB 620
390 TR=.532*(4*QOUT/3.14159/IDP*VIS/HV/DLQ^2/9.810001)^(1/3)*QOUT/3.14159/IDP/LC
/K+TIC
400 IF ABS(TR-TS)<=.001 THEN 430
410 TS=TR
420 GOTO 330
430 T =TS
440 GOSUB 620
450 HV=HFG:P=VP:RV=DVP
460 TF=(TS+TIC)/2
470 T=TF
480 GOSUB 620
490 HIC=1.47*K*(HV*DLQ^2*9.810001/4/QOUT*3.14159*IDP/VIS)^(1/3)
500 T=(TS+TIH)/2

```

```

510 GOSUB 630
520 HIH = QOUT^.67*CP/CSF/HV/CP/VIS*K/(1/VIS/HV/3.14159/IDP/LW*(SUR/9.8/(DLQ-RV)
)^.5)^.33/3.14159/IDP/LW
530 HIF=1.47*K*(HV*DLQ^2*9.810001/4/QOUT*3.14159*IDP/(LE-LW)*LE/VIS)^^(1/3)
540 UAC=1/(1/UA+1/(HIH*3.14159*IDP*LW+HIF*3.14159*IDP*LF)+1/HIC/3.14159/IDP/LC)
550 QC=UAC*LMTD
560 IF ABS(QC-QOUT) <=.001 THEN 590
570 QOUT=(QC+QOUT)/2
580 GOTO 300
590 N=Q/QC
600 PRINT"Number of heat pipe tube ";N
610 LPRINT TAB(5);"Number of heat pipe tube ";N
620 END
630 REM WATER PROPERTY
640 DLQ=1000.84109#-.033900857##T-.00495049544##T^2+.0000104651299##T^3
650 DVP=.00861462206#-.0000722105615##T+.0000266703573##T^2-.000000147758556##T^
3+.77265649D-09*T^4
660 VP=.0166082829#-.000734921545##T+.0000627483241##T^2-.000000654202949##T^3+.
0000000109653593##T^4
670 CP=4201.92627#-1.62180901##T+.0363622308##T^2-.000309996307##T^3+.0000012282
1439##T^4
680 VIS=.00171670897#-.0000502196126##T+.000000898907956##T^2-9.85670568D-09*T^3
+5.97187855D-11*T^4-1.51716151D-13*T^5
690 K=.568971991#+.00190699428##T-.00000891613161##T^2+.0000000104898961##T^3
700 HFG=2502612.69#-2500.41797##T+4.46722412##T^2-.0633306503##T^3+.000228844583
##T^4
710 SUR=(75.772898#-.149544895##T-.0000302884728##T^2-.00000350629125##T^3+.0000
00018903819##T^4)/1000
720 RETURN

```

ชีวประวัติ

นายพิชัย ตึงสถาพรพาณิชย์ เกิดวันที่ 28 เมษายน 2497
 จังหวัดกรุงเทพมหานคร สำเร็จการศึกษาปริญญาตรีวิทยาศาสตร์บัณฑิต สาขาเคมี
 จากคณะวิทยาศาสตร์ มหาวิทยาลัยมหิดล เมื่อปีการศึกษา 2525.



ศูนย์วิทยทรัพยากร
 จุฬาลงกรณ์มหาวิทยาลัย